

**MENENTUKAN PERBANDINGAN TINGKAT OPTIMAL PARAMETER METODE  
JARINGAN SYARAF TIRUAN BACKPROPAGATION DAN METODE DERET BERKALA  
BOX JENKINS (ARIMA) SEBAGAI METODE PERAMALAN CURAH HUJAN  
(STUDI KASUS : DATA CURAH HUJAN BMKG MAKASSAR)**



**Skripsi**

***Diajukan Untuk Memenuhi Salah Satu Syarat Meraih Gelar  
Sarjana Matematika Jurusan Matematika pada Fakultas Sains Dan Teknologi  
Universitas Islam Negeri (UIN) Alauddin Makassar***

**Oleh :**

**Parawansyah  
60600112015**

**JURUSAN MATEMATIKA  
FAKULTAS SAINS DAN TEKNOLOGI  
UNIVERSITAS ISLAM NEGERI (UIN) ALAUDDIN MAKASSAR  
2016**

**PERNYATAAN KEASLIAN SKRIPSI**

Dengan penuh kesadaran, penyusun yang bertanda tangan di bawah ini menyatakan bahwa skripsi ini benar adalah hasil karya penyusun sendiri. Jika di kemudian hari terbukti bahwa ia merupakan duplikat, tiruan, plagiat, atau dibuat oleh orang lain, sebagian atau seluruhnya, maka skripsi dan gelar yang diperoleh karenanya batal demi hukum.

Makassar,     November

2016

Penyusun,


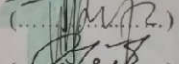
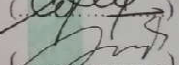
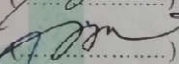
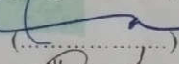
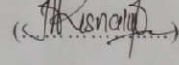

**PARAWANSYAH**  
**NIM : 60600112015**

### PENGESAHAN SKRIPSI

Skripsi yang berjudul “Menentukan Perbandingan Tingkat Optimal Parameter Metode Jaringan Syaraf Tiruan Backpropagation dan Metode Deret Berkala Box Jenkis (ARIMA) sebagai Metode Peramalan Curah Hujan”, yang disusun oleh Saudara **Parawansyah**, Nim: **60600112015** Mahasiswa Jurusan Matematika pada Fakultas Sains dan Teknologi Universitas Islam Negeri (UIN) Alauddin Makassar, telah diuji dan dipertahankan dalam sidang *munaqasyah* yang diselenggarakan pada hari Selasa tanggal **29 November 2016 M**, bertepatan dengan **29 Shafar 1438 H**, dinyatakan telah dapat diterima sebagai salah satu syarat untuk memperoleh gelar Sarjana Matematika (S.Mat.).

Makassar, 29 November 2016 M  
29 Shafar 1438 H


### DEWAN PENGUJI

Ketua	: Prof. Dr. H. Arifuddin Ahmad, M.Ag.	(  )
Sekretaris	: Try Azisah Nurman, S.Pd., M.Pd.	(  )
Munaqisy I	: Wahidah Alwi, S.Si., M.Si.	(  )
Munaqisy II	: Muh. Irwan, S.Si., M.Si.	(  )
Munaqisy III	: Muh. Rusydi Rasyid, S.Ag., M.Ed.	(  )
Pembimbing I	: Irwan, S.Si., M.Si.	(  )
Pembimbing II	: Risnawati Ibtnas, S.Si., M.Si.	(  )

UNIVERSITAS ISLAM NEGERI

Diketahui oleh:  
 Dekan Fakultas Sains dan Teknologi  
 UIN Alauddin Makassar



  
 Prof. Dr. H. Arifuddin Ahmad, M.Ag  
 Nip. 19691205 199303 1 001

## **MOTTO DAN PERSEMBAHAN**

### **MOTTO**

- Teruslah berusaha karena harapan itu masih ada ketika seseorang itu masih tetap berusaha (penulis).
- Kemenangan yang seindah – indahya dan sesukar – sukarnya yang boleh direbut oleh manusia ialah menundukkan diri sendiri (Ibu Kartini).

### **Kupersembahkan Tugas Akhir ini Kepada :**

Ayah (Jamaluddin.L) dan Ibu (Rosliana) tercinta atas doa, nasehat, motivasi, kasih sayang yang tidak bisa diungkapkan dengan kata – kata, kalianlah yang menjadi motivasi terbesarku dalam menyelesaikan tugas akhir ini

Almamater UIN Alauddin Makassar

## KATA PENGANTAR

Puji syukur kehadiran Allah Swt, atas limpahan Rahmat dan karunianya, sehingga penulis dapat merampungkan skripsi dengan judul “Menentukan Perbandingan Tiangkat Optimal Parameter Metode Jaringan Saraf Tiruan Backpropagation dan Metode Deret Berkala Box-Jenkins ( ARIMA) Sebagai Metode Peramalan Curah Hujan”. Ini untuk memenuhi salah satu syarat menyelesaikan studi serta dalam rangka memperoleh gelar sarjana Matematika Srata satu Program Studi Matematika Fakultas Sains dan Teknologi Universitas Islam Negeri Alauddin Makassar.

Penghargaan dan terima kasih yang setelus-tulusnya kepada ayahanda tercinta Jamaluddin.L dan ibunda yang kusayangi Rosliana yang telah mencurahkan segenap cinta dan kasih sayang serta perhatian moril dan materil. Semoga Allah Swt selalu melimpahkan Rahmat, Kesehatan, Karunia dan Keberkahan di dunia dan di akhirat atas budi baik yang telah diberikan kepada penulis dan kepada Kakakku tercinta Harfina S.Kep dan suaminya, Harlina S.Pd dan suaminya, Adindaku Nauval Arafiq dan Sri Ayu Dinar yang telah memberikan do’a sehingga penulis dapat menyelesaikan skripsi ini. Dalam menyelesaikan Skripsi ini penulis tidak dapat menyelesaikan tugas akhir ini dengan sendiri, melainkan berkat bantuan dari berbagai pihak. Oleh karena itu dengan segenap ketulusan hati penulis mengucapkan terima kasih sedalam – dalamnya kepada:

1. Bapak Prof. Dr. Musafir Pababbari, M.Si Rektor UIN Alauddin Makassar,

2. Bapak Prof. Dr. Arifuddin Ahmad , M.Ag. Dekan Fakultas Sains dan Teknologi, Universitas Islam Negeri Alauddin Makassar,
3. Bapak Irwan, S.Si., M.Si., Ketua Jurusan Matematika Fakultas Sains dan Teknologi, Sekaligus pembimbing I yang telah bersedia meluangkan waktu dan penuh kesabaran untuk membimbing, mengarahkan serta memberikan petunjuk dalam penyusunan skripsi ini,
4. Ibu Wahida Alwi, S.Si., M.Si., Sekretaris Jurusan Matematika Fakultas Sains dan Teknologi, Universitas Islam Negeri Alauddin Makassar, Sekaligus penguji I yang telah bersedia meluangkan waktu untuk menguji, memberi saran dan kritikan untuk kesempurnaan penyusunan skripsi ini,
5. Bapak / Ibu pada Staf dan Pengajar Fakultas Sains dan Teknologi, Universitas Islam Negeri Alauddin Makassar, yang telah memberikan do'a dan dorongan moral serta perhatian dan kasih sayang yang diberikan kepada penulis dalam menyelesaikan skripsi ini,
6. Ibu Risnawati Iknas, S.Si, M.Si., pembimbing II yang telah bersedia meluangkan waktu dan penuh kesabaran untuk membimbing, mengarahkan serta memberikan petunjuk dalam penyusunan skripsi ini,
7. Bapak Muh. Irwan, S.Si., M.Si., penguji II yang telah bersedia meluangkan waktu untuk menguji, memberi saran dan kritikan untuk kesempurnaan penyusunan skripsi ini,
8. Bapak Muh. Rusdy Rasyid, S.Ag., M.Ag., M.Ed., penguji III yang telah bersedia meluangkan waktu untuk menguji, memberi saran dan kritikan untuk kesempurnaan penyusunan skripsi ini,

9. Kepada Senior – senior yang telah banyak membantu pengerjaan ini, terkhusus kepada kakanda Imam Bangkit Putra Satiawan S.Si dan Muhammad Kaprawi S.Si, M.Si yang telah memberikan banyak motivasi serta dorongan sehingga penulis bisa merampungkan skripsi ini,
10. Teman – teman seperjuangan angkatan 2012 “ KURVA” yang selalu memberi semangat bersaing sehat dan inspirasi mulai dari awal perkuliahaan hingga penulisan skripsi ini,
11. Kepada Adik-adik mahasiswa dan mahasiswi Matematika 2013, 2014, 2015, dan 2016. Yang turut serta dalam penyelesaian skripsi ini,
12. Kepada dindaku tersayang Ratna Indah Sari yang selama ini memberikan semangat, dorongan, teguran ketika saya letih dengan penulisan skripsi sehingga saya bisa bangkit kembali, semangat juang kembali untuk menyelesaikan skripsi ini,
13. Dua orang adik saya yaitu Nauval Arafiq dan Sri Ayu Dinar beserta keluarga besarku yang menjadi penyemangatku dalam menyelesaikan tugas akhir ini.
14. Sahabat – sahabatku Rusman Hasan, Aldi Alfian Fadila Murdani, Muh Kasim, Nur Syamsir, Muh Al’marif Abdur Razaq, Mawar, Ina, Eka, Mala, Eki, Risma, Wulan, Nuqrah dan semua anak KURVA 2012 yang selalu memberi suntikansuntikan positif dalam menyelesaikan tugas akhir ini.
15. Senior – senior yang selalu memberi nasehat dan masukan dalam menyelesaikan tugas akhir ini, Terkhusus kepada kakanda Bangkit Imam Putra Satiawan, S.Si.

16. Kepada seluruh pihak – pihak yang tidak disebutkan satu persatu, terima kasih atas segala do'a dan motivasinya.

Penulis menyadari masih banyak kesalahan dan kekurangan dalam penulisan skripsi ini, untuk itu sangat diharapkan saran dan kritik yang bersifat membangun demi kesempurnaan skripsi ini. Namun demikian, penulis tetap berharap semoga skripsi ini bermanfaat untuk semua yang haus akan ilmu pengetahuan.

*Wassalamu'alaikum Wr. Wb.*

Makassar, Oktober 2016  
Penulis

Parawansyah  
NIM. 60600112015



## DAFTAR ISI

<b>HALAMAN JUDUL</b> .....	<b>i</b>
<b>PERNYATAAN KEASLIAN SKRIPSI</b> .....	<b>ii</b>
<b>PERSETUJUAN PEMBIMBING</b> .....	<b>iii</b>
<b>MOTTO DAN PERSEMBAHAN</b> .....	<b>iv</b>
<b>KATA PENGANTAR</b> .....	<b>v-vii</b>
<b>DAFTAR ISI</b> .....	<b>viii-x</b>
<b>DAFTAR TABEL</b> .....	<b>xi</b>
<b>DAFTAR GAMBAR</b> .....	<b>xii</b>
<b>DAFTAR SIMBOL</b> .....	<b>xiii</b>
<b>ABSTRAK</b> .....	<b>xiv</b>
 <b>BAB I PENDAHULUAN</b>	
A. Latar Belakang .....	1
B. Rumusan Masalah .....	6
C. Tujuan Masalah .....	7
D. Batasan Masalah .....	8
E. Manfaat Penelitian .....	8
F. Sistematika Penelitian .....	9
 <b>BAB II TINJAUAN PUSTAKA</b>	
A. Jaringan Saraf Tiruan .....	11
1. Definisi Jaringan Saraf Tiruan .....	11
2. Komponen Jaringan Saraf .....	11
3. Karakteristik Jaringan Saraf Tiruan .....	13
4. Arsitektur Jaringan (Konfigurasi Jaringan) .....	15
5. Belajar Algoritma .....	18

6. Backpropagation Dalam Peramalan .....	20
B. Metode Box-Jenkins (ARIMA) .....	25
a. Identifikasi .....	26
b. Autoregresive Model (AR) .....	26
c. Moving Average Model (MA) .....	26
d. Model Campuran .....	27
e. Penaksiran Parameter .....	27
C. Teknik Peramalan .....	29
1. Metode Eksploratoris .....	29
2. Metode Normatif .....	30
D. Analisis Deret Berkala .....	31
a. Plot Data .....	31
b. Koefisien Korelasi .....	31
c. Pengujian Stasioner Suatu Deret Berkala .....	33
E. Matlab .....	36
F. Curah Hujan .....	37

### **BAB III METODOLOGI PENELITIAN**

A. Lokasi dan Waktu Penelitian .....	40
B. Jenis Penelitian .....	40
C. Jenis dan Sumber Data .....	40
D. Instrumen Penelitian .....	41
E. Variabel dan Devisi Operasional Variabel .....	41
F. Teknik Pengumpulan Data .....	42

G. Teknis Analisis Data .....	42
-------------------------------	----

#### **BAB IV HASIL DAN PEMBAHASAN**

A. Hasil Penelitian .....	45
a. Profil Data .....	45
b. Peramalan Menggunakan Metode ARIMA .....	46
c. Peramalan Menggunakan Metode JST .....	56
B. Pembahasan .....	67

#### **BAB V PENUTUP**

A. Kesimpulan .....	69
B. Saran .....	69

#### **DAFTAR PUSTAKA**

#### **LAMPIRAN-LAMPIRAN**

**DAFTAR TABEL**

TABEL 4.1 Data Curah Hujan Tahun 2011 sampai dengan 2015 .....	45
TABEL 4.2 Data Curah Hujan Hasil Normalisasi .....	46
TABEL 4.3 Data Input Hasil Normalisasi .....	57
TABEL 4.4 Data Target .....	58
TABEL 4.5 Hasil Retrain 1 sampai 6 .....	62
TABEL 4.6 Mean Squared Error (MSE) .....	64
TABEL 4.7 Regresion .....	64
TABEL 4.8 Output .....	65
TABEL 4.9 Mean Squared Error (MSE) JST .....	66
TABEL 4.10 Uji Data Pelatihan .....	66
TABEL 4.11 Mean Squared Error ARIMA .....	66

**DAFTAR GAMBAR**

Gambar 2.1 Jaringan Neuron Single Layer.....	12
Gambar 2.2 Jaringan Neuron Sederhana.....	13
Gambar 2.3 Sel Saraf Tiruan.....	14
Gambar 2.4 Jaringan Layar Tunggal .....	16
Gambar 2.5 Jaringan Layar Jamak .....	18
Gambar 4.1 Plot Data Curah Hujan .....	47
Gambar 4.2 Fungsi Autokorelasi data normal .....	48
Gambar 4.3 Fungsi Parsial Autokorelasi data normal .....	49
Gambar 4.4 Plot Data Curah Hujan Hasil Differensing Pertama .....	51
Gambar 4.5 Fungsi Autokorelasi Data Differensing Pertama .....	52
Gambar 4.6 Fungsi Parsial Autokorelasi Data Differensing Pertama .....	53
Gambar 4.7 Model Jaringan Saraf Tiruan yang di dapatkan .....	58
Gambar 4.8 Proses traning dengan menggunakan model jaringan .....	59
Gambar 4.9 Tampilan plot performance .....	60
Gambar 4.10 Tampilan plot Traning state .....	61
Gambar 4.11 Tampilan plot Regresion .....	61
Gambar 4.12 Plot Histogram Retrain Ke 6 .....	63

## DAFTAR SIMBOL

$X$	= Data tingkat curah hujan
$Y$	= Output layer
$Z$	= Hidden layer
$X'$	= Data curah hujan hasil normalisasi
$a$	= Nilai maksimum data asli
$b$	= Nilai minimum data asli
$\bar{Y}$	= Rata-rata data curah hujan
$\sum_{t=1}^n Y_t$	= Sigma penjumlahan untuk nilai rata-rata curah hujan
$Y'_t$	= Data hasil differensing
$H_0: = 0$	= Parameter model tidak signifikansi
$H_0: \neq 0$	= Parameter model signifikansi
$\hat{\Phi}$	= Koefisien
$SE\hat{\Phi}$	= Standar Error Koefisien
$t_{hitung}$	= Pengujian parameter
$\gamma_{11}$ dan $\gamma_{22}$	= Nilai taksiran parameter
$\gamma_0$ dan $\gamma_1$	= Notasi untuk autokorelasi populasi 0 dan 1
$\rho_k$	= Time lag
$Se_{rk}$	= Galat Standar

**ABSTRAK**

**Nama Penyusun** : Parawansyah  
**Nim** : 60600112015  
**Judul** : **Menentukan Perbandingan Tingkat Optimal Parameter Metode Jaringan Saraf Tiruan Backpropagation dan Metode Deret Berkala Box-Jenkins (ARIMA) Sebagai Metode Peramalan Curah Hujan**

---

ARIMA merupakan metode yang umum digunakan untuk memprediksi suatu data. Seiring dengan perkembangan ilmu, ada metode lain yang dapat digunakan untuk memprediksi, salah satunya adalah JST backpropagation. Tulisan ini bertujuan mengetahui tingkat optimal parameter ARIMA dan JST backpropagation dalam meramalkan curah hujan. Metode yang digunakan adalah studi pustaka, perumusan masalah, pemecahan masalah, analisis data dengan bantuan MATLAB dan Minitab, dan penarikan kesimpulan. Berdasarkan hasil simulasi data curah hujan periode 2011-2015 dari Badan Meteorologi, Klimatologi dan Geofisika (BMKG) Makassar. Tbk dengan menggunakan JST backpropagation diperoleh nilai MSE dari proses training sebesar 1.78449. Sedangkan model optimal ARIMA, yaitu ARIMA (1,1,1) dengan nilai MSE sebesar 0.02919.

**Kata kunci** : *ARIMA, Artificial Neural Network, Backpropagation, MSE.*

# **BAB I**

## **PENDAHULUAN**

### ***A. Latar Belakang***

Hujan merupakan satu bentuk presipitasi yang berwujud cairan, presipitasi sendiri itu dapat berwujud padat (misalnya salju dan hujan es), jumlah air hujan diukur dengan menggunakan pengukur hujan atau ambrometer. Dinyatakan sebagai kedalaman air yang terkumpul pada permukaan datar, dan diukur dengan satuan millimeter (mm) yang merupakan penyingkatan dari liter per meter persegi. Berdasarkan fakta yang terjadi, BMKG menyatakan bahwa tingkat curah hujan yang terjadi di Makassar pada bulan Desember 2015 hingga Januari 2016 sebesar 400 - 500 mm/bulan, dan bulan Januari 2016, BMKG juga menyatakan bahwa curah hujan yang terjadi di kabupaten Gowa di atas 500 mm/bulan yang artinya Makassar harus siap menerima kiriman air dari Gowa, selain hujan yang turun di Makassar.<sup>1</sup>

Dari pernyataan tersebut dapat ditarik kesimpulan bahwa curah hujan yang terjadi di wilayah makassar dan sekitarnya memiliki intensitas tinggi, oleh karena itu curah hujan saat ini sangat berpengaruh pada peningkatan maupun penurunan penghasilan masyarakat di sektor pertanian maupun sektor industri lainnya. Untuk meningkatkan kualitas produksi pangan atau tumbuhan itu bergantung pada kadar hujan yang

---

<sup>1</sup>Soejarwo, Kepala badan pelayanan jasa BMKG Makassar, "Curah Hujan di Makassar Meningkat", *SindoNews.Com*. januari-2016, No 25.



terjadi, jika kadar hujan yang terjadi itu lebih besar maka akan berdampak buruk bagi produsen sumber pangan karena tidak sesuai dengan kadar yang di perlukan berbeda jika kadar hujan yang turun itu normal maka secara tidak langsung semua produsen sumber pangan akan mengalami keuntungan dimana kualitas pangan yang dihasilkan akan lebih baik. Oleh karena itu untuk mengantisipasi semua itu peramalan diperlukan untuk menetapkan kapan suatu peristiwa akan terjadi atau timbul sehingga tindakan yang tepat dapat dilakukan. Peramalan merupakan alat yang penting dalam perencanaan yang efektif dan efisien.

Meramalkan suatu peristiwa banyak metode yang dapat digunakan, salah satu metode peramalan yang paling dikembangkan saat ini adalah *time series*, yakni menggunakan pendekatan kuantitatif dengan data masa lampau dikumpulkan dan dijadikan acuan untuk peramalan masa depan. Teknik peramalan *time series* terbagi menjadi dua bagian yaitu model peramalan yang didasarkan pada model matematika statistik dan model ARIMA (Box Jenkins), kedua model peramalan yang didasarkan pada kecerdasan buatan seperti jaringan saraf, dengan demikian kita ketahui bahwa dalam *time series* ilmu statistik dan jaringan saraf pun termasuk dalam kajian bidang yang sama.

Oleh karena itu dalam penelitian ini berdasarkan pembahasan diatas maka peneliti ingin membandingkan dua metode dalam peramalan yakni menggunakan metode jaringan saraf tiruan dan metode deret berkala

(Box Jenkins) dalam meramalkan curah hujan yang terjadi, guna untuk mengetahui tingkat optimal parameter kadar hujan yang terjadi.

Hal ini di buktikan dengan adanya ayat-ayat al-Quran yang secara langsung menjelaskan mengenai proses turunnya hujan serta manfaat yang dihasilkan, yakni dalam QS. An'nahl ayat 10-11 yaitu berkenaan dengan masalah manfaat hujan itu sendiri terhadap tumbuh-tumbuhan, dimana tumbuh-tumbuhan ini merupakan sumber makanan bagian mahluk hidup. Surah lain yang menjelaskan tentang hujan yaitu dalam QS. Ar-Ruum ayat 48 yang berbunyi :

اللَّهُ الَّذِي يُرْسِلُ الرِّيحَ فَتُثِيرُ سَحَابًا فَيَبْسُطُهُ فِي السَّمَاءِ كَيْفَ يَشَاءُ  
وَيَجْعَلُهُ كَسَفًا فَتَرَى الْوَدْقَ يَخْرُجُ مِنْ خِلَالِهِ ۗ

Terjemahannya :

”Allah yang telah mengirim angin, lalu angin itu menggerakkan awan dan Allah membentangkannya di langit menurut yang dia kehendaki, dan menjadikannya bergumpal-gumpal, lalu engkau melihat hujan keluar dari celah-celahnya”.<sup>2</sup>

Dalam QS Ar'Ruum ayat 48 Allah Swt, megirimkan angin kemudian menjadikan awan, menyebar dan menghimpunnya di langit, sehingga air turun dari sela-sela awan. Dalam Tafsir Al-Maragi menjelaskan bahwa hujan merupakan bukti kasih sayang Allah Swt. Karena itu ketika

---

<sup>2</sup>Departemen Agama RI, *Al-Qur'an Tajwid dan Terjemah* (Bandung : CV Penerbit Diponegoro, 2008)

hujan turun mereka melihatnya sebagai peristiwa yang luar biasa. tanah yang semula mati kini hidup lagi, tanaman tumbuh subur dan hewan ternak kembali mendapatkan makanannya. Peristiwa hujan merupakan sebuah peristiwa kasih sayang Allah Swt kepada makhluk-nya.<sup>3</sup> Ditinjau dari ilmu sains proses turunnya hujan yaitu diawali dengan panasnya matahari yang membuat air yang ada dimuka bumi menguap sehingga terbentuklah awan dari uapan air tersebut, angin membuat awan kecil itu berkumpul menjadi besar, karena kandungan air diawan yang sudah besar itu sudah tidak bisa lagi di tampung maka turunlah hujan dari cela-cela awan tersebut.

Beberapa penelitian sebelumnya telah dilakukan mengenai peramalan curah hujan dengan menggunakan metode Regresi, yang diteliti oleh Abdul Mukid dengan mengambil study kasus di kabupaten Grobongan. Dalam penelitiannya dia mendapatkan kesimpulan bahwa proses Gaussian menggunakan pendekatan secara stokastik dengan menganggap bahwa besaran curah hujan bersifat acak. Berdasarkan nilai Root Mean Square Prediction (RMSEP), fungsi peragam terbaik yang dapat digunakan untuk prediksi adalah Kuadrat Eksponensial ARD (*Automatic Relevance Determinant*) dengan RMSEP sebesar 123,63. Prediksi jumlah curah hujan tertinggi ada di bulan Januari yang mencapai 336,5 mm dengan simpangan

---

<sup>3</sup> Al-Mizan The Wisdom, AL-Qur'an Al-Karim,"Al-Quran Disertai Tafsir",(PT Al-Mizan Bunaya Kreatif, Jln, Cinombo 137 Bandung).CP, Mei 2014.h. 710

129,36 mm dan terendah di bulan Agustus 2014 sebesar 36,94 dengan simpangan baku sebesar 67,36.

Jaringan saraf tiruan dibayangkan seperti otak buatan yang aktifitasnya seperti otak manusia, ketika manusia berpikir, aktifitas yang terjadi adalah mengingat, menyimpan dan memanggil kembali apa yang pernah dipelajari oleh otak.<sup>4</sup> Dengan menggunakan teknologi di bidang *Artificial Intelligence* yaitu teknologi jaringan syaraf tiruan maka identifikasi pola data dari sistem peramalan curah hujan dapat dilakukan dengan metode pendekatan pembelajaran atau pelatihan yaitu untuk menentukan bobot penghubung antar simpul yang optimum.

Keunggulan utama jaringan syaraf tiruan adalah kemampuan komputasi yang paralel dengan cara belajar dari pola-pola yang diajarkan. Berdasarkan kemampuan belajar yang dimilikinya, maka jaringan syaraf tiruan dapat dilatih untuk mempelajari dan menganalisa pola data masa lalu dan berusaha mencari suatu formula atau fungsi yang akan menghubungkan pola data masa lalu dengan keluaran yang diinginkan pada saat ini. Dalam peramalan didefinisikan sebuah fungsi yang menerangkan proses-proses runtun waktu (*time series*).

Fungsi tersebut menentukan rangkaian perubahan melalui waktu.

Fungsi tadi diperoleh dengan mencocokkan data masa lalu. Sebuah fungsi f

---

<sup>4</sup>Rahmat Gernowo, "analisa data curah hujan stasiun klimatologi semarang dengan model jaringan syaraf tiruan", Berkala Fisika, ISSN : 1410 - 9662, Vol. 15, No. 1, Januari 2016, hal 21 26

dinotasikan  $f: X \rightarrow Y$  memetakan sebuah masukan domain  $X$  ke sebuah lingkup keluaran  $Y$ . Untuk setiap elemen  $x$  dalam masukan domain  $X$ , fungsi  $f$  secara unik menentukan elemen  $y$  dalam lingkup keluaran  $Y$ . Data masa lalu diasumsikan seperti nilai-nilai fungsi. Jaringan syaraf tiruan membangun model fungsi yang menerangkan struktur dari data masa lalu tanpa memperhatikan parameter-parameter matematik. Dengan kata lain, kaidah formula atau fungsi tidak perlu dirumuskan. Jaringan syaraf tiruan akan belajar mencari sendiri formula atau fungsi tersebut.

Dari berbagai macam pola jaringan dan pelatihan yang ada pada jaringan syaraf tiruan maka dapat dipilih pola jaringan dan pelatihan yang digunakan agar jaringan syaraf tiruan dapat mempelajari dan menganalisa pola data masa lalu lebih tepat sehingga diperoleh keluaran yang lebih akurat (dengan kesalahan atau error yang minimum). Berdasarkan pembahasan diatas maka peneliti berkesimpulan untuk mengangkat judul "Menentukan Perbandingan tingkat optimal parameter metode Jaringan Syaraf Tiruan Backpropagation dan Metode Deret Berkala Box-Jenkins (ARIMA) sebagai Metode Peramalan Curah Hujan".

### ***B. Rumusan Masalah***

Adapun Permasalahan yang dimaksud dalam penelitian ini adalah sebagai berikut.

1. Bagaimana tingkat optimal parameter dalam meramalkan curah hujan dengan menggunakan metode deret berkala Box Jenkins (ARIMA)?
2. Bagaimana tingkat optimal parameter dalam meramalkan curah hujan dengan menggunakan metode jaringan syaraf tiruan *back propagation*?
3. Bagaimana perbandingan jaringan syaraf tiruan *back propagation* dengan metode deret berkala Box-Jenkins (ARIMA) dalam meramalkan curah hujan yang ditinjau dari nilai Mean Square Error (MSE)?

### **C. Tujuan Penelitian**

Adapun Tujuan dari penelitian ini adalah sebagai berikut.

1. Untuk mengetahui tingkat optimal parameter dalam meramalkan curah hujan dengan menggunakan metode deret berkala Box Jenkins (ARIMA).
2. Untuk mengetahui tingkat optimal parameter dalam meramalkan curah hujan dengan menggunakan jaringan syaraf tiruan *back propagation*.
3. Untuk mengetahui perbandingan jaringan syaraf tiruan *back propagation* dengan metode deret berkala Box-Jenkins (ARIMA) dalam meramalkan curah hujan.

#### ***D. Batasan Masalah***

Adapun batasan masalah untuk mengarahkan penyelesaian masalah antara lain :

1. Menggunakan pola jaringan neuron sederhana untuk peramalan jaringan saraf tiruan sampai 6 kali proses retrain.
2. Variabel yang digunakan dibatasi yakni hanya menggunakan 3 variabel yaitu  $X, Y$  dan  $Z$
3. berdasarkan data yang didapatkan.

#### ***E. Manfaat Penelitian***

Adapun manfaat penelitian ini adalah sebagai berikut :

1. Manfaat bagi BMKG itu sendiri

Dapat memberikan suatu informasi mengenai curah hujan yang terjadi dimasa mendatang dengan menggunakan metode alternatif peramalan.

2. Manfaat bagi Univesitas

Penelitian ini dapat menambah wawasan mengenai *Time Series* khususnya menyangkut masalah peramalan dengan menggunakan dua metode yaitu metode jaringan saraf tiruan dan metode deret berkala Box Jankins serta factor-faktor yang mempengaruhi dalam melamalkan curah hujan.

3. Manfaat bagi pembaca

Dapat bermanfaat bagi para pembaca untuk lebih mengetahui dan memahami bagaimana cara menggunakan jaringan syaraf tiruan dan metode deret berkala (Box Jenkins) yang digunakan dalam melakukan peramalan.

#### ***F. Sistematika Penelitian***

Secara garis besar, sistematika penulisan tugas akhir ini dibagi menjadi tiga bagian, yaitu bagian awal, bagian isi dan bagian akhir.

##### **A. Bagian awal**

Halaman sampul, persetujuan pembimbing, pengesahan, kata pengantar, daftar table, daftar symbol, daftar gambar dan lampiran.

##### **B. Bagian isi**

Bagian isi terdiri dari tiga bab, yaitu :

###### **a. Pendahuluan**

Di dalam bab ini dikemukakan latar belakang, perumusan masalah, tujuan penelitian, manfaat penelitian, batasan masalah dan sistematika Penelitian.

###### **b. Tinjauan Pustaka**

Di dalam bab ini dikemukakan konsep-konsep yang dijadikan landasan teori sebagai berikut : metode jaringan syaraf tiruan (back propagation), metode deret berkala (*Box Jaenkins*), teknik peramalan, analisis deret berkala, curah hujan.



c. Metode Penelitian

Di dalam bab ini dikemukakan metode penelitian yang berisi langkah-langkah yang ditempuh untuk memecahkan masalah yaitu : jenis penelitian, jenis dan sumber data, lokasi dan waktu penelitian, instrument penelitian, variable dan definisi operasional variabel, prosedur penelitian.

d. Hasil Penelitian dan Pembahasan

Di dalam bab ini berisi hasil penelitian beserta pembahasan

e. Kesimpulan dan Saran

Di dalam bab ini berisi kesimpulan dan saran

C. Bagian akhir berisi daftar pustaka dan lampiran-lampiran

## **BAB II**

### **TINJAUAN PUSTAKA**

#### **A. Jaringan Syaraf Tiruan**

##### **1. Definisi Jaringan Syaraf Tiruan**

Jaringan saraf tiruan (*Artificial Neural Network*) atau di singkat JST adalah system komputasi dimana arsitektur dan operasi yang diaplikasikan dari pengetahuan tentang sel saraf biologi di dalam otak. Jaringan saraf adalah merupakan salah satu refresentasi buatan dari otak manusia yang selalu untuk mensimulasikan proses pembelajaran pada otak manusia tersebut. Istilah buatan disini digunakan keran jaringan saraf tiruan ini diimplementasikan dengan menggunakan program komputer yang mampu menyelesaikan sejumlah perhitungan selama proses pembelajaran.<sup>5</sup>

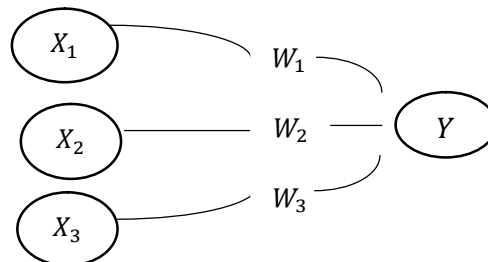
##### **2. Komponen Jaringan Saraf**

Ada beberapa tipe jaringan saraf tiruan, namun demikian hampir semuanya memiliki komponen-komponen yang sama, seperti halnya otak manusia, jaringan syaraf juga terdiri dari beberapa neuron, dan ada hubungan antara neuron-neuron tersebut. Neuron-neuron tersebut akan mentrasformasikan informasi yang diterima melalui sambungan menuju ke neuron-neuron yang lain. Pada jaringan syaraf, hubungan ini disebut

---

<sup>5</sup>Ferdinand Sinuhaji, "Jaringan saraf tiruan untuk prediksi keputusan medis pada penyakit asma", (Matematikan dan ilmu pengetahuan alam FMIPA UNS), Semarang, h.19

dengan bobot, informasi tersebut di simpan pada satu nilai tertentu pada bobot tersebut.



**Gambar : 2.1 Jaringan Neuron Single Layer**

$Y$  menerima input dari neuron  $X_1$ ,  $X_2$  dan  $X_3$  dengan bobot hubungan masing-masing  $W_1, W_2$  dan  $W_3$ . Ketiga impuls neuron akan dijumlahkan.

$net$  = suatu fungsi masukan dalam jaringan saraf tiruan

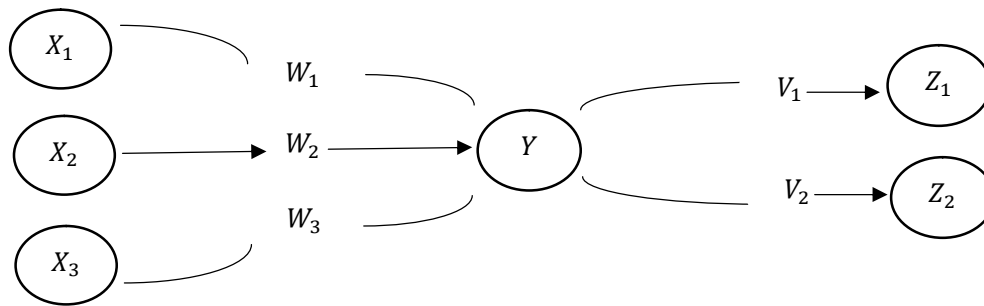
$X_1, X_2, X_3$  = suatu inputan neuron

$W_1, W_2, W_3$  = bobot yang menghubungkan antara neuron dengan input  $Y$

$Y$  = inputan keluaran terhadap  $X$

$V_1$  dan  $V_2$  = bobot yang menghubungkan antara input keluaran  $Y$  dengan output  $Z$

$$net = X_1W_1 + X_2W_2 + X_3W_3$$



**Gambar : 2.2 Jaringan Neuron Sederhana**

Merupakan suatu model neuron network yang sangat sederhana yang terdiri dari unit-unit input, output dan satu unit hidden yang terletak pada suatu lapisan tersembunyi (hidden layer).

### 3. Karakteristik Jaringan Saraf Tiruan

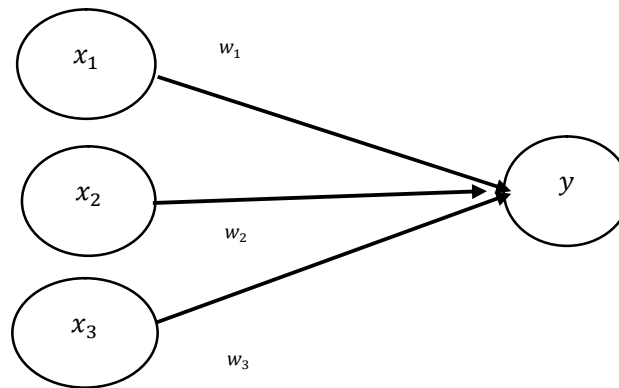
Penyelesaian masalah dengan jaringan saraf tiruan tidak memerlukan pemrograman. Jaringan saraf tiruan menyelesaikan masalah melalui proses belajar dari contoh-contoh, biasanya pada jaringan saraf tiruan diberikan sebuah himpunan pola pelatihan yang terdiri atas sekumpulan contoh pola. Sebagai tanggapan atas pola masukan-sasaran yang disajikan tersebut, jaringan akan menyesuaikan nilai bobotnya. Jika pelatihan telah berhasil, bobot-bobot yang dihasilkan selama pelatihan jaringan akan memberikan tanggapan yang benar terhadap masukan yang diberikan.<sup>6</sup>

Model-model jaringan syaraf tiruan ditentukan oleh arsitektur jaringan serta algoritma pelatihan. Arsitektur biasanya menjelaskan arah perjalanan sinyal atau data di dalam jaringan. Sedangkan algoritma belajar

<sup>6</sup>Anugrah PSW."Perbandingan jaringan saraf tiruan Backpropagation dan metode deret berkala Box-Jenkins (ARIMA) sebagai metode peramalan".(Semarang:Universitas Negeri Semarang).

menjelaskan bagaimana bobot koneksi harus diubah agar pasangan masukan-keluaran yang diinginkan dapat tercapai.

Perubahan harga bobot koneksi dapat dilakukan dengan berbagai cara, tergantung pada jenis algoritma pelatihan yang digunakan. Dengan mengatur besarnya nilai bobot ini diharapkan bahwa kinerja jaringan dalam mempelajari berbagai macam pola yang dinyatakan oleh setiap pasangan masukan-keluaran akan meningkat.



**Gambar 2.3 Sel Syaraf Tiruan**

Pada Gambar 2.3 diperlihatkan sebuah sel syaraf tiruan sebagai elemen penghitung. Simpul  $Y$  menerima masukan dari neuron  $x_1, x_2$  dan  $x_3$  dengan bobot hubungan masing-masing adalah  $w_1, w_2$  dan  $w_3$ . Argumen fungsi aktivasi adalah net masukan (kombinasi linear masukan dan bobotnya). Ketiga sinyal simpul yang ada dijumlahkan  $net = x_1, w_1 + x_2, w_2 + x_3, w_3$ . Besarnya sinyal yang diterima oleh  $Y$  mengikuti fungsi aktivasi  $y = f(net)$ . Apabila nilai fungsi aktivasi cukup kuat, maka sinyal akan

diteruskan. Nilai fungsi aktivasi (keluaran model jaringan) juga dapat dipakai sebagai dasar untuk merubah bobot.

#### 4. Arsitektur Jaringan (Konfigurasi Jaringan)

Salah satu arsitektur jaringan saraf tiruan yang sangat populer adalah *multilayer feedforward networks*. Secara umum, jaringan seperti ini terdiri dari sejumlah unit neuron sebagai lapisan simpul-simpul neuron komputasi lapisan tersembunyi, dan sebuah lapisan simpul-simpul neuron komputasi keluaran. Sinyal masukan dipropagasikan ke arah depan (arah lapisan keluaran). Lapisan demi lapisan, jenis jaringan ini adalah hasil generalisasi dari arsitektur *perceptron* satu lapisan, jadi biasa disebut sebagai *multilayer perceptron* (MLPs). *Errorback propagations* adalah algoritma MLPs yang menggunakan prinsip pembelajaran terawasi. Propagasi balik (ke arah lapisan masukan) terjadi setelah jaringan menghasilkan keluaran yang mengandung *error*.<sup>7</sup>

Berdasarkan arsitekturnya, model jaringan syaraf tiruan digolongkan menjadi:

##### a. Jaringan Layar Tunggal (*Single Layer Network*)

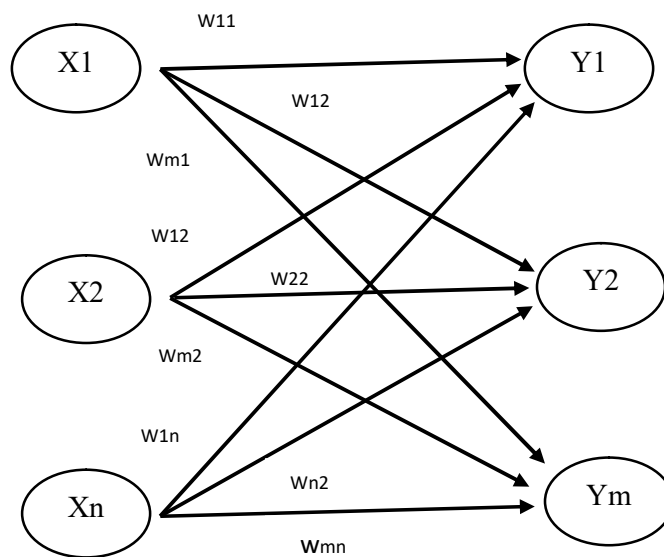
Pada jaringan ini, sekumpulan masukan neuron dihubungkan langsung dengan sekumpulan keluarannya. Sinyal mengalir searah dari layar

---

<sup>7</sup>Maharani Dessy wuryandari, DKK "perbandingan metode jaringan saraf tiruan back propagation dan learning vector Quantization pada pengenalan wajah" (Bandung: Jurnal computer dan informatika (KOMPUTASI), edisi. I Vol. 1, Maret 2012) h. 47

(lapisan) masukan sampai layer (lapisan) keluaran. Setiap simpul dihubungkan dengan simpul lainnya yang berada di atasnya dan dibawahnya, tetapi tidak dengan simpul yang berada pada lapisan yang sama. Model yang masuk kategori ini antara lain : *ADALINE*, *Hopfield*, *Perceptron*, *LVQ*, dan lain-lain.

Pada gambar 2.4 diperlihatkan arsitektur jaringan layer tunggal dengan  $n$  buah masukan ( $X_1, X_2, \dots, X_n$ ) dan  $m$  buah keluaran ( $Y_1, Y_2, \dots, Y_m$ ), dimana ( $W_{11}, W_{12}, \dots, W_{mm}$ ) merupakan bobot yang menyambungkan antara inputan masukan  $X_1, X_2, \dots, X_n$  dengan inputan keluaran  $Y_1, Y_2$  dan  $Y_m$ .

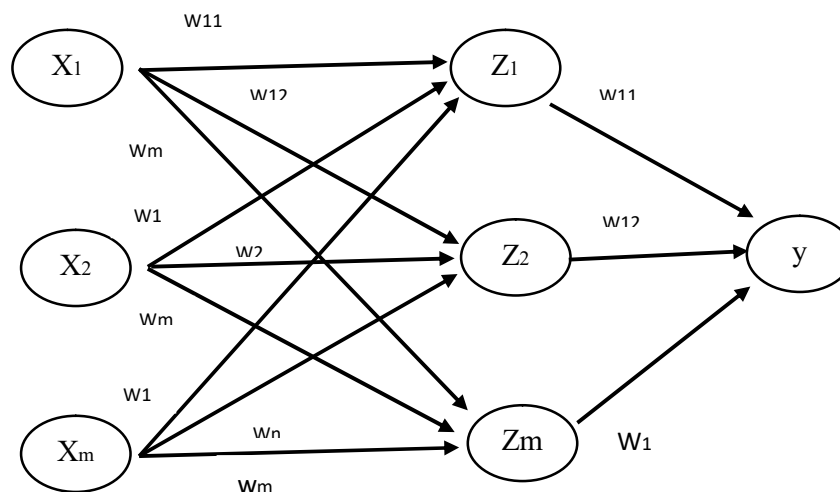


**Gambar 2.4 Jaringan Layer Tunggal**

b. Jaringan Layer Jamak (*Multiple Layer Network*)

Jaringan ini merupakan perluasan dari jaringan layer tunggal. Dalam jaringan ini, selain unit masukan dan keluaran, ada unit-unit lain (sering disebut layer tersembunyi). Dimungkinkan pula ada beberapa layer tersembunyi. Model yang termasuk kategori ini antara lain : MADALINE, *back propagation*.

Pada gambar 2.5 diperlihatkan jaringan dengan  $n$  adalah unit masukan ( $X_1, X_2, \dots, X_n$ ), sebuah layer tersembunyi yang terdiri dari  $m$  buah unit ( $Z_1, Z_2, \dots, Z_m$ ) dan 1 buah unit keluaran, sama halnya dengan gambar 2.4 neuron-neuron yang terdapat dalam jaringan layer jamak ini dihubungkan dengan bobot  $W_{11}, W_{12}, \dots, W_{mm}$ . Dimana bobot merupakan nilai hubungan antara neuron, semakin besar nilai yang terdapat dalam bobot, maka semakin besar pula hubungan antara neuron tersebut.



**Gambar 2.5 Jaringan Layer Jamak**



c. Jaringan Reccurent (*reccurent network*)

Model jaringan *reccurent* (*reccurent network*) mirip dengan jaringan layar tunggal ataupun jamak. Hanya saja, ada simpul keluaran yang memberikan sinyal pada unit masukan (sering disebut *feedback loop*). Dengan kata lain sinyal mengalir dua arah, yaitu maju dan mundur. Contoh : *Hopfield network, Jordan network, Elmal network*.<sup>8</sup>

## 5. Belajar Algoritma

Ide dasar jaringan syaraf tiruan adalah konsep belajar atau pelatihan. Jaringan-jaringan belajar melakukan generalisasi karakteristik tingkah laku objek. Algoritma backpropagation menggunakan *error output* untuk mengubah nilai bobot-bobotnya dalam arah mundur (*backward*). Pelatihan backpropagation meliputi 3 fase yaitu fase maju, fase mundur dan fase perubahan bobot.<sup>9</sup>. Biasanya diberikan contoh yang cukup penting dalam membangun pemetaan tersebut. Walaupun untuk pasangan masukan keluaran yang belum pernah digambarkan sebelumnya. Untuk dapat menyelesaikan suatu permasalahan, jaringan syaraf tiruan memerlukan algoritma belajar atau pelatihan yaitu bagaimana sebuah konfigurasi jaringan dapat dilatih untuk mempelajari data historis yang ada. Dengan pelatihan ini, pengetahuan yang terdapat

---

<sup>8</sup>Siang, Jong Jek. 2005. "Jaringan Syaraf Tiruan dan Pemogramannya Menggunakan Matlab".(Yogyakarta: Andi Offset).

<sup>9</sup>Lisa Yasinta. 2004. "*implementasi Algoritma Pelatihan Levenberg Marquardt dan Regulasi Bayes untuk Prediksi curah hujan*".STKIP Persada Khatulistiwa, Jl. Pertamina. (7 Januari 2016)

pada data dapat diserap dan direpresentasikan oleh harga-harga bobot koneksinya.

Algoritma belajar atau pelatihan digolongkan menjadi sebagai berikut.

- a. Dengan Supervisi (*Supervised Training*) Dalam pelatihan dengan supervisi, terdapat sejumlah pasangan data (masukan-target keluaran) yang dipakai untuk melatih jaringan. Pada setiap pelatihan, suatu masukan diberikan ke jaringan. Jaringan akan memproses dan mengeluarkan keluaran. Selisih antara keluaran jaringan dengan target (keluaran yang diinginkan) merupakan kesalahan yang terjadi. Jaringan akan memodifikasi bobot sesuai dengan kesalahan tersebut. Model yang menggunakan pelatihan dengan supervisi antara lain : *Perceptron, Adaline, Madaline, Backpropagation, LVQ*.<sup>10</sup>
- b. Tanpa Supervisi (*Unsupervised Training*) Dalam pelatihannya, perubahan bobot jaringan dilakukan berdasarkan parameter tertentu dan jaringan dimodifikasi menurut ukuran parameter tersebut. Model yang menggunakan pelatihan ini adalah model jaringan kompetitif.

## 6. *Backpropagation* dalam Peramalan

Salah satu metode, *back propagation* dapat diaplikasikan dengan baik adalah metode peramalan (*forecasting*). Peramalan yang sering

---

<sup>10</sup>Siang, Jong Jek. 2005. "Jaringan Syaraf Tiruan dan Pemogramannya Menggunakan Matlab".(Yogyakarta: Andi Offset).

diketahui adalah peramalan besarnya penjualan, nilai tukar valuta asing, prediksi besarnya besar kecilnya intensitas curah hujan dan lain-lain.

Secara umum, masalah peramalan dapat dinyatakan dengan sejumlah data runtun waktu (*time series*)  $X_1, X_2, \dots, X_n$ . Masalahnya adalah memperkirakan berapa harga  $X_{n+1}$  berdasarkan  $X_1, X_2, \dots, X_n$ .

Langkah-langkah membangun struktur jaringan untuk peramalan sebagai berikut.

#### 1. Transformasi Data

Langkah awal sebelum melakukan proses pelatihan pada jaringan yang akan digunakan untuk peramalan adalah transformasi data. Sebab-sebab utama data ditransformasikan adalah agar kestabilan taburan data dicapai. Selain itu berguna untuk menyelesaikan nilai data range fungsi aktivasi yang digunakan dalam jaringan. Ada beberapa transformasi yang digunakan yaitu transformasi polinomial, transformasi normal dan transformasi linear. Nilai hasil transformasi polinomial, normal dan linear dapat diperoleh dengan persamaan sebagai berikut.

##### a. Transformasi Polinomial

$$x' = \ln x \quad (\text{A.2.1})$$

dengan

$$x' = \text{nilai data setelah transformasi polinomial}$$

$$x = \text{nilai data actual}$$

## b. Transformasi Normal

$$x_n = \frac{x_0 - x_{min}}{x_{max} - x_{min}} \quad (\text{A.2.2})$$

Dengan

$x_n$  = nilai data normal.

$x_0$  = nilai data actual

$x_{min}$  = nilai minimum data aktual keseluruhan

$x_{max}$  = nilai maksimum data actual keseluruhan

## c. Transformasi Linear pada selang [a, b]

$$x' = \frac{(x - x_{min})(b - a)}{x_{max} - x_{min}} + a \quad (\text{A.2.3})$$

$x'$  = nilai data setelah transformasi linear.

$x$  = nilai data actual

$x_{min}$  = nilai minimum data aktual keseluruhan

$x_{max}$  = nilai maksimum data actual keseluruhan

## 1. Pembagian Data

Langkah selanjutnya setelah transformasi data adalah pembagian data. Data dibagi menjadi data pelatihan, pengujian dan validasi. Beberapa komposisi data pelatihan, pengujian dan validasi yang sering digunakan adalah sebagai berikut.

- a. 80% untuk pelatihan dan 20% untuk data pengujian dan validasi.

- b. 70% untuk data pelatihan dan 30% untuk data pengujian dan validasi.
- c.  $\frac{2}{3}$  untuk data pelatihan dan  $\frac{1}{3}$  untuk data pengujian dan validasi.
- d. 50% untuk data pelatihan dan 50% untuk data pengujian dan validasi.
- e. 60% untuk data pelatihan dan 40% untuk data pengujian dan validasi.

Aspek pembagian data harus ditekankan agar jaringan mendapat data pelatihan yang secukupnya dan data pengujian dapat menguji prestasi pelatihan yang dilakukan berdasarkan nilai MAPE data pelatihan dan pengujian. Bilangan data yang kurang untuk proses pelatihan akan menyebabkan jaringan mungkin tidak dapat mempelajari taburan data dengan baik. Sebaliknya, data yang terlalu banyak untuk proses pelatihan akan melambatkan proses pemusatan (konvergensi). Masalah *overtraining* (data pelatihan yang berlebihan) akan menyebabkan jaringan cenderung untuk menghafal data yang dimasukkan daripada mengeneralisasi.

## 2. Perancangan Struktur Jaringan Yang Optimum

Langkah selanjutnya setelah pembagian data adalah penentuan bilangan simpul masukan, bilangan lapisan tersembunyi,

bilangan simpul lapisan tersembunyi dan bilangan simpul keluaran yang akan digunakan dalam jaringan. Terdapat beberapa aturan yang dapat membantu perancangan jaringan yang optimum, yaitu sebagai berikut.

- a. Bilangan simpul masukan sama dengan periode dimana data berfluktuasi.
- b. Bilangan simpul keluaran sama dengan bilangan keluaran masalah.
- c. Mulai dengan satu lapisan tersembunyi dan digunakan lebih dari satu lapisan tersembunyi jika diperlukan.
- d. Jika menggunakan satu lapisan tersembunyi, bilangan simpul tersembunyi awal adalah 75% dari bilangan simpul masukan. Penggunaan jaringan dengan dua atau lebih lapisan tersembunyi dalam masalah peramalan kebanyakan tidak akan memberikan pengaruh yang sangat besar terhadap prestasi jaringan untuk melakukan peramalan. Selain itu akan melambatkan proses pelatihan yang disebabkan bertambahnya simpul.

Beberapa kaedah untuk memperkirakan bilangan simpul tersembunyi yaitu sebagai berikut.

- a.  $n = n, 2n$

- b.  $= \frac{n}{2}$

dengan

$n$  = bilangan simpul masukan yang digunakan.

= bilangan simpul tersembunyi

Penentuan bilangan simpul tersembunyi yang terbaik diperoleh secara *trial and error* dari simpul 1 sampai  $2n$

### 3. Pemilihan Koefisien Pemahaman dan Momentum

Pemilihan koefisien pemahaman dan momentum mempunyai peranan yang penting untuk struktur jaringan yang akan dibangun. Dalam pembangunan jaringan yang akan digunakan dalam peramalan, hasil keputusan yang kurang memuaskan dapat diperbaiki dengan penggunaan koefisien pemahaman dan momentum secara *trial and error* untuk mendapatkan nilai bobot yang paling optimum agar MAPE dan MSE jaringan dapat diperbaiki. Berdasarkan pengalaman dan aplikasi jaringan syaraf tiruan dalam berbagai masalah peramalan diperoleh nilai-nilai koefisien pemahaman dan momentum seperti pada tabel 1 di bawah ini.

**Tabel 1** Peringkat Koefisien Pemahaman dan Momentum

Peringkat	1	2	3	4
Koefisien Pemahaman	0.9	0.7	0.5	0.4
Koefisien Momentum	0.1	0.4	0.5	0.6

### 4. Memilih dan Menggunakan Struktur Jaringan yang Optimum

Jaringan yang dibangun akan dinilai keakuratan ramalannya. Kaedah penilaian yang digunakan adalah nilai *Percentage Error (PE)*, *Mean*

*Absolute Percentage Error* (MAPE) dan *Mean Square Error* (MSE). Pendekatan MAPE digunakan untuk menilai prestasi jaringan yang dilatih karena MAPE mengenal secara pasti signifikansi hubungan diantara data ramalan dengan data aktual melalui persentase dari data aktual serta indikator positif atau negatif pada galat (*error*) diabaikan. Ketepatan model diukur secara relatif menggunakan PE dan dilihat juga dari nilai MSE-nya.

## **B. Metode Box-Jenkins (ARIMA)**

Metode Box-jenkins atau yang biasa disebut dengan metode ARIMA (*Autoregressive integrated Moving Average*). Dalam menyelesaikan permasalahan dari suatu data time series dengan menggunakan AR murni/ARIMA (p,0,0), MA murni/ ARIMA (0,0,q), ARMA/ARIMA (p,0,q) ataupun ARIMA (p,d,q) melalui beberapa tahapan yaitu identifikasi, estimasi parameter, uji diagnostic, dan penerapan peramalan.<sup>11</sup>

### a. Identifikasi

Identifikasi terhadap deret waktu dilakukan dengan membuat plot time series dari data deret waktu tersebut, sehingga dapat diketahui kestasioneran dari data. Apabila data sudah stasioner maka dapat ditentukan orde p dan q dari model ARIMA pada suatu data runtut waktu dengan cara mengidentifikasi plot autocorrelation function

---

<sup>11</sup>H.Muhammad Arif Tiro. 2006. "Analisis Deret Waktu" teori dan aplikasi".(Makassar: Andi ra Publisher).h.21



(ACF) dan partial autocorrelation function (PACF) dari data yang sudah stasioner.

### 1. Autoregressive Model (AR)

Bentuk umum model Autoregressive dengan ordo p (AR(p)) atau model ARIMA (p,0,0) dinyatakan sebagai berikut :

$$x_t = \mu' + \varphi_1 X_{t-1} + \varphi_2 X_{t-2} + \dots + \varphi_p X_{t-p} + e_t \quad (\text{B.2.1})$$

Dimana :

$\mu'$  = Suatu konstanta

$\varphi_p$  = Parameter Autoregressive ke-p

$e_t$  = Nilai kesalahan pada saat t

### 2. Moving Average Model (MA)

Bentuk umum model moving average ordo q (MA(q)) atau ARIMA (0,0,q) dinyatakan sebagai berikut :

$$X_t = \mu' + e_t - \theta_1 e_{t-1} - \theta_2 e_{t-2} - \dots - \theta_q e_{t-k} \quad (\text{B.2.2})$$

dimana :

$\mu'$  = Suatu konstanta

$\theta_q$  = parameter parameter moving average

$e_{t-k}$  = Nilai kesalahan pada saat t - k

### 3. Model Campuran

Bentuk persamaan untuk model ARIMA ditunjukkan pada persamaan berikut.

$$\varphi_p(B)(1 - B)^d X_t = \theta_0 + \theta_q(B)\theta_t \quad (\text{B.2.3})$$

Dimana  $B$  adalah operator beda. Fungsi orde ( $p$ ) untuk operator dari  $AR$  yang distasioner.

$${}_p(B) = (1 - \theta_1 B - \dots - \theta_p B^p) \quad (\text{B.2.4})$$

Dan fungsi orde ( $q$ ) untuk operator MA yang telah stationer ialah

$$\theta_q(B) = (1 + \theta_1 B + \dots + \theta_q B^q) \quad (\text{B.2.5})$$

Model ini dinotasikan dengan ARIMA ( $p,d,q$ ).

b. Penaksiran parameter

Setelah mempunyai model ARIMA maka dilakukan estimasi model persamaan tersebut. Pada tahap estimasi ini akan diuji kelayakan model dengan cara mencari model terbaik. Model terbaik didasarkan pada tingkat signifikansi variable independen termasuk konstanta melalui uji-t. misalkan  $\phi$  adalah parameter pada ARIMA *Box-Jenkins* dan  $\hat{\phi}$  adalah nilai taksirannya. Hipotesis dari uji signifikansi parameter adalah sebagai berikut.

$H_0: \phi = 0$  (Parameter model tidak signifikan)

$H_1: \phi \neq 0$  (Parameter model signifikan)

Statistik Uji

$$t = \frac{\hat{\phi}}{SE(\hat{\phi})}$$

Daerah penolakan : tolak  $H_0$  jika  $|t_{hitung}| > t_{\alpha/2,df}$  dimana  $df$  adalah jumlah data dikurangi parameter.

Pada analisis time series, langkah pertama yang dilakukan adalah identifikasi model untuk melihat pola data. Apabila data time series bersifat non-stasioner maka harus distasionerkan terlebih dahulu. Jika kondisi stasioner dalam rata-rata tidak terpenuhi maka diperlukan proses differencing. Jika data tidak stasioner dalam varians, maka dapat distabilkan dengan menggunakan transformasi dan salah satunya adalah dengan melakukan transformasi Box Cox.

Pengujian kestasioneran dalam mean menggunakan uji *unit root*. Persamaan yang digunakan dalam uji *Augmented Dickey-Fuller* adalah sebagai berikut.

$$y_t = \gamma y_{t-1} + \sum_{i=2}^p \beta_i y_{t-i} + a_t \quad (\text{B.2.6})$$

Mean yang tidak stasioner dapat distasionerkan dengan melakukan differencing serangkaian data pengamatan ( $Z_t$ ). Berikut merupakan stasioneritas dalam mean.

$$W_t = Z_t - Z_{t-1} \quad (\text{B.2.7})$$

Apabila varians belum stasioner, maka untuk menstasionerkan varians perlu dilakukan transformasi. Transformasi Box-Cox merupakan transformasi pangkat yang dapat dinyatakan sebagai berikut.<sup>12</sup>

$$T(Z_t) = Z_t^{(\lambda)} \quad (\text{B.2.8})$$

### C. Teknik Peramalan

Situasi peramalan sangat beragam dalam horison waktu peramalan, faktor yang menentukan hasil sebenarnya, tipe pola data dan berbagai aspek lainnya. Untuk menghadapi penggunaan yang luas seperti itu, beberapa teknik telah dikembangkan. Teknik tersebut dibagi ke dalam dua kategori utama yaitu metode kualitatif atau teknologis dan metode kuantitatif.

Metode kualitatif atau teknologis membutuhkan *input* (masukan) yang tergantung pada metode tertentu dan biasanya merupakan hasil dari pemikiran intuitif, prakiraan (*judgment*) dan pengetahuan yang telah didapat. Metode teknologis dibagi menjadi dua bagian sebagai berikut.<sup>13</sup>

#### 1. Metode Eksploratoris

Dimulai dengan masa lalu dan masa kini sebagai titik awalnya dan bergerak ke arah masa depan secara heuristik, seringkali dengan melihat semua kemungkinan yang ada. Yang termasuk

---

<sup>12</sup>Ade Dwi Angraeni, DKK. "peramalan penjualan sepeda motor tiap jenis di wilayah Surabaya". (Surabaya: jurnal sains dan pomits). Vol.3, No.2, (2014).

<sup>13</sup>Makridakis, DKK. "Metode dan Aplikasi Peramalan". Terjemahan Hari Suminto. (Jakarta: Binarupa Aksara). Spyros., Syeven C Wheelwright., dan Victor E. McGEE. 1999.

metode ini antara lain Dalphi, Kurva-S analogi dan penelitian morfologis.

## 2. Metode Normatif

Dimulai dengan menetapkan sasaran dan tujuan yang akan kemudian bekerja mundur untuk melihat apakah hal ini dapat dicapai berdasarkan kendala, sumber daya dan teknologi yang tersedia. Yang termasuk metode ini antara lain matrik keputusan, pohon relevansi (*relevance tree*) dan analisis system.

Metode kuantitatif dapat diterapkan bila terdapat tiga kondisi yaitu sebagai berikut :

1. Tersedia informasi tentang masa lalu
2. Informasi tersebut dapat dikuantitatifkan dalam bentuk data numerik
3. Dapat diasumsikan bahwa beberapa aspek pola masa lalu akan terus berlanjut dimasa mendatang.

Kondisi yang terakhir ini dikenal sebagai asumsi kesinambungan (*assumption of continuity*). Asumsi ini merupakan premis yang mendasari semua metode peramalan kuantitatif.

Metode kuantitatif dapat dibagi menjadi dua bagian yaitu sebagai berikut.

### 1. Metode Runtun Waktu (Time Series)

Pendugaan masa depan dilakukan berdasarkan nilai masa lalu dari variable atau kesalahan masa lalu. Tujuan metode ini adalah

menemukan pola dalam deret data historis dan mengekstrapolasikan ke masa depan.

## 2. Metode Kausal

Mengasumsikan bahwa factor yang diramalkan menunjukkan suatu hubungan sebab akibat dengan satu atau lebih variable bebas.

### D. Analisis Deret Berkala

#### a. Plot Data

Langkah awal yang baik untuk menganalisis data deret berkala adalah memplot data tersebut secara grafis. Hal ini bermanfaat untuk memplot berbagai data *moving average* untuk menetapkan adanya trend (penyimpanan nilai tengah) dan adanya pengaruh musiman pada data.

#### b. Koefisien Autokorelasi

Dalam analisis deret berkala adalah koefisien autokorelasi (koefisien deret berkala dengan deret berkala itu sendiri yang mempunyai selisih waktu (*lag*) 0,1,2 periode atau lebih. Misalkan persamaan sebagai berikut.

$$y_t = a + \phi_1 y_{t-1} + \phi_2 y_{t-2} + e_t \quad (\text{D.2.1})$$

Persamaan (1) adalah model AR yang menggambarkan  $y_t$  sebagai suatu kombinasi linear dari dua nilai sebelumnya. Koefisien korelasi sederhana antara  $y_t$  dengan  $y_{t-1}$  dapat dicari dengan menggunakan persamaan sebagai berikut.

$$\begin{aligned}
r_{y_t y_{t-1}} &= \frac{(\text{kovariansi antara } y_t \text{ dan } y_{t-1})}{(\text{deviasi standar } y_t)(\text{deviasi standar } y_{t-1})} \\
&= \frac{\sum_{t=2}^n (y_t - \bar{y}_t)(y_{t-1} - \bar{y}_{t-1})}{\sqrt{\sum_{t=1}^n (y_t - \bar{y}_t)^2} \sqrt{\sum_{t=2}^n (y_{t-1} - \bar{y}_{t-1})^2}} \quad (\text{D.2.2})
\end{aligned}$$

Misal data  $y_t$  diasumsikan stasioner (baik nilai tengah maupun variansinya) sehingga kedua nilai tengah  $\bar{y}_t$  dan  $\bar{y}_{t-1}$  dapat diasumsikan bernilai sama ( $\bar{y} = \bar{y}_t = \bar{y}_{t-1}$ ) dan dua standar deviasi dapat diukur satu kali saja dengan menggunakan seluruh data  $y_t$  yang di ketahui.

Dengan menggunakan asumsi-asumsi penyederhanaan ini, maka persamaan (2.2) menjadi sebagai berikut.

$$r_{y_t y_{t-1}} = \frac{\sum_{t=2}^n (y_t - \bar{y})(y_{t-1} - \bar{y})}{\sum_{t=1}^n (y_t - \bar{y})^2} \quad (\text{D.2.3})$$

Persamaan (2.3) dapat berlaku umum dan dapat digunakan untuk seluruh *time-lag* dari suatu periode untuk suatu deret berkala. Hal ini sebagai akibat adanya asumsi stasioneritas.

Autokorelasi untuk *time-lag* 1,2,3,..., k dapat dicari dan dinotasikan  $r_k$  sebagai berikut.

$$r_k = \frac{\sum_{t=1}^{n-k} (y_t - \bar{y})(y_{t+k} - \bar{y})}{\sum_{t=1}^n (y_t - \bar{y})^2} \quad (\text{D.2.4})$$

Suatu koefisien autokorelasi perlu dikaji untuk menentukan apakah secara statistik nilainya berbeda secara signifikan dari nol atau tidak. Untuk itu dihitung galat standar dari  $r_k$  dengan rumus sebagai berikut.

$$se_{rk} = \frac{1}{\sqrt{n}} \quad (D.2.5)$$

Dengan  $n$  menunjukkan banyaknya data. Koefisien autokorelasi dari data random mempunyai distribusi sampling yang mendekati kurva normal dengan nilai tengah nol dan kesalahan standar  $\frac{1}{\sqrt{n}}$ . Dari nilai kesalahan standar  $se_{rk}$  dan sebuah nilai interval kepercayaan dapat diperoleh sebuah rentang nilai.

c. Pengujian Stasioneritas Suatu deret Berkala

Nilai-nilai autokorelasi dari deret data asli dihitung. Apabila nilai tersebut turun dengan cepat atau mendekati nol sesudah nilai kedua atau ketiga menandakan bahwa data stasioner di dalam bentuk aslinya. Sebaliknya, apabila nilai autokorelasinya tidak turun ke nol dan tetap positif itu menandakan tidak stasioner.

Autokorelasi parsial digunakan untuk mengukur tingkat keeratan antara  $X_1$  dan  $X_{t-k}$  apabila pengaruh dari time-lag 1, 2, 3, ...,  $k-1$  dianggap terpisah. Koefisien autokorelasi parsial berorde  $m$  di definisikan sebagai koefisien autoregresif terakhir dari model  $AR(m)$ . Dibawah ini merupakan persamaan-persamaan yang masing-masing digunakan untuk menetapkan  $AR(1), AR(2), AR(3), \dots, AR(m)$  dan proses  $AR(m)$ .

$$X_t = \phi_1 X_{t-1} + e_{t-1} \quad (D.2.6)$$

$$X_t = \phi_1 X_{t-1} + \phi_2 X_{t-2} + e_t \quad (D.2.7)$$



$$X_t = \alpha_1 X_{t-1} + \alpha_2 X_{t-2} + \alpha_3 X_{t-3} + e_t \quad (\text{D.2.8})$$

$$X_t = \alpha_1 X_{t-1} + \alpha_2 X_{t-2} + \dots + \alpha_{m-1} X_{t-m+1} + e_t \quad (\text{D.2.9})$$

$$X_t = \alpha_1 X_{t-1} + \alpha_2 X_{t-2} + \dots + \alpha_{m-1} X_{t-m+1} + \alpha_m X_{t-m} + e_t \quad (\text{D.2.10})$$

dari persamaan-persamaan diatas dapat dicari nilai-nilai taksiran

$\alpha_1, \alpha_2, \alpha_3, \dots, \alpha_{m-1}, \alpha_m$  berdasarkan pada koefisien autokorelasi.

Apabila ruas kiri dan kanan persamaan (D.2.6) dikalikan dengan  $X_{t-1}$

menjadi sebagai berikut.

$$X_{t-1}X_t = \alpha_1 X_{t-1}X_{t-1} + X_{t-1}e_t \quad (\text{D.2.11})$$

Dengan mengambil nilai harapan pada persamaan (D.2.11) akan menghasilkan persamaan sebagai berikut.

$$E(X_{t-1}X_t) = \alpha_1 E(X_{t-1}X_{t-1}) + E(X_{t-1}e_t) \quad (\text{D.2.12})$$

Persamaan (D.2.12) dapat ditulis sebagai berikut.

$$\gamma_1 = \alpha_1 \gamma_0 \quad (\text{D.2.13})$$

dengan  $\gamma_0$  dan  $\gamma_1$  adalah notasi untuk autokorelasi populasi 0 dan 1.

Apabila kedua ruas pada persamaan (D.2.12) dibagi  $\gamma_0$  maka menjadi sebagai berikut.

$$\rho_1 = \alpha_1 \quad (\text{D.2.14})$$

Jadi  $\rho_1 = \hat{\rho}_1$ , ini berarti bahwa autokorelasi parsial yang pertama adalah sama dengan autokorelasi pertama dan kedua-keduanya ditaksir di dalam sampel dengan  $r_1$ . Secara umum, untuk mencari autokorelasi parsial pada *time-lag* ke- $k$  digunakan persamaan sebagai berikut.

$$\rho_k = \frac{\gamma_k}{\gamma_0} \quad (\text{D.2.15})$$

Dengan  $\rho_k$  menunjukkan parameter autokorelasi parsial pada *time-lag* ke- $k$ .

#### E. Matlab

Matlab merupakan perangkat lunak yang cocok dipakai sebagai alat komputasi yang melibatkan penggunaan matrix dan vektor. Fungsi-fungsi dalam paket perangkat lunak (*toolbox*) Matlab dibuat untuk memudahkan perhitungan tersebut. Sebagai contoh, Matlab dapat dengan mudah dipakai untuk menyelesaikan permasalahan sistem persamaan linier, program linier dengan *simpleks*, pengolahan citra hingga sistem yang kompleks seperti peramalan runtun waktu (*time series*), dan lain-lain.

Banyak model jaringan syaraf tiruan menggunakan manipulasi matrix atau vektor dalam iterasinya. Oleh karena itu Matlab merupakan perangkat lunak yang cocok dipakai. Matlab menyediakan fungsi-fungsi khusus untuk menyelesaikan model jaringan syaraf tiruan dan model ARIMA.

Secara keseluruhan Matlab memiliki 6 buah jendela sebagai berikut.

1. Jendela perintah (*command window*) Jendela perintah merupakan tempat untuk memasukkan perintah perintah yang diinginkan.
2. Jendela daftar perintah (*command history*) Jendela ini memuat daftar perintah yang pernah diketikkan dalam jendela perintah.
3. Jendela *Launch Pad* Jendela ini berisi fasilitas yang disediakan Matlab untuk menjalankan paket perangkat lunak (*toolbox*) untuk menyelesaikan masalah tertentu.
4. Jendela *Help* Dipakai jika mengalami kesulitan sewaktu memilih perintah atau formatnya.
5. Jendela Direktori
6. Jendela *Workspace* Selain jendela-jendela tersebut, Matlab juga menyediakan fasilitas editor program yang bahasa pemogramannya mirip dengan bahasa C++.<sup>14</sup>

## F. Minitab

Paket program Minitab merupakan salah satu software yang sangat besar kontribusinya sebagai media pengolahan data statistik. Software ini menyediakan berbagai jenis perintah yang memungkinkan

---

<sup>14</sup>Anonim, Modul Pengenalan Matlab. EEPIS-ITS | Praktikum Pengolahan Sinyal Digital.

proses pemasukan data, manipulasi data, pembuatan grafik dan berbagai analisis statistik.

Minitab mempunyai dua layar primer, yaitu Worksheet (lembar kerja) untuk melihat dan mengedit lembar kerja, serta sesi Command yang merupakan layar untuk menampilkan hasil. Perintah-perintah Minitab dapat diakses melalui menu, kotak dialog maupun perintah interaktif.<sup>15</sup>

### **G. Curah Hujan**

Data hujan adalah data unsur cuaca yang bervariasi menurut tempat ataupun waktu. Oleh sebab itu variasinya yang besar, maka harus sering diukur dalam jangkauan jarak atau periode tertentu. Curah hujan dinyatakan dalam millimeter (mm) atau inci. Seperti pada penguapan yang juga dinyatakan dengan satuan panjang, curah hujan pun dapat diartikan sebagai lawan dari penguapan. Penguapan kandungan airnya hilang sedangkan pada curah hujan kandungan airnya bertambah. Tinggi curah hujan diasumsikan sama disekitar tempat penakaran luasan yang tercakup oleh sebuah penakar hujan bergantung pada homogenitas daerahnya maupun kondisi cuaca lainnya. Ketepatan asumsi ini tergantung dari kecepatan angin, keterbukaan lapangan, luas alat penampung serta tinggi alat dari permukaan tanah.

---

<sup>15</sup> Triyanto, Pengenalan Minitab, Program Studi Pendidikan Matematika, Universitas Sebelas Maret. Surakarta, 2009 h.1

Kumpulan data curah hujan disuatu tempat sangat bernilai. Jika periode pengumpulannya makin lama maka makin banyak informs yang diperoleh terutama nilai ekstrim tertinggi atau terendah yang pernah dicapai. Jumlah curah hujan dalam sehari sering disebut curah hujan harian.

Pengukur hujan dibagi dalam 2 golongan besar, yaitu tipe manual dan tipe otomatis. Bila yang diinginkan hanya jumlah curah hujan harian maka dipakai tipe manual. Informasi lebih banyak diperoleh jika menggunakan alat otomatis, seperti informasi curah hujan harian, intensitas serta waktu turunnya hujan.<sup>16</sup>

Hujan juga di jelaskan dalam QS. Fatir ayat 9 yang berbunyi:

وَاللَّهُ الَّذِي أَرْسَلَ الرِّيحَ فَتُثِيرُ سَحَابًا فَسُقْنَهُ إِلَىٰ بَلَدٍ مَّيِّتٍ فَأُحْيَيْنَا بِهِ  
الْأَرْضَ بَعْدَ مَوْتِهَا ۚ كَذَٰلِكَ النُّشُورُ ﴿٩﴾

Terjemahannya :

“Allah Swt yang mengirimkan angin lalu angin itu menggerakkan awan, Maka Kami halau awan itu kesuatu negeri yang mati lalu Kami hidupkan bumi setelah matinya dengan hujan itu. Demikianlah kebangkitan itu.”<sup>17</sup>

<sup>16</sup> Anugrah PSW.”Perbandingan jaringan saraf tiruan Backpropagation dan metode deret berkala Box-Jenkins (ARIMA) sebagai metode peramalan”.(Semarang:Universitas Negeri Semarang).

<sup>17</sup> Al-Mizan The Wisdom, AL-Qur’an Al-Karim,”Al-Quran Disertai Tafsir”,(PT Al-Mizan Bunaya Kreatif, Jln, Cinombo 137 Bandung).CP, Mei 2014.h. 870

Kandungan ayat diatas dalam tafsir Al-Qur'an Al-Karim (QS Fatir ayat 9). Dijelaskan bahwa Air sebagai sumber kehidupan yang menceritakan bahwa makhluk melata dibumi, mereka berkembang biak dan dari mana asal muasal penciptaan mereka. Penciptaan binatang menunjukkan kekuasaan Allah dan sekaligus kehendaknya yang mutlak. Bahan baku penciptaannya sama, yaitu air, tetapi dari air itu dia menciptakan berbagai macam makhluk yang memiliki potensi dan fungsi yang berbeda-beda, sungguh berbeda dengan substansi serta kadar air yang merupakan bahan pembentuknya. Ayat ini juga mengisyaratkan bahwa unsur terpenting dalam kejadian setiap makhluk hidup adalah air.

### BAB III METODOLOGI PENELITIAN

#### A. Lokasi dan Waktu Penelitian

Penelitian ini dilakukan di Badan Meteorologi dan Geofisika kota Makassar, pada tanggal 20 September 2016 sampai dengan 20 November 2016.

NO	Nama Kegiatan	Bulan			
		9	10	11	12
1	Pengambilan data				
2	Input data				
3	Mengolah data				
4	Hasil				

#### B. Jenis Penelitian

Jenis penelitian yang digunakan dalam penelitian ini adalah penelitian Deskriptif, yaitu mengambil data curah hujan di kantor Badan Meteorologi Klimatologi dan Geofisika (BMKG) kota Makassar, serta kajian pustaka yang memanfaatkan sumber kepustakaan yang terdapat di perpustakaan dan internet dan buku-buku yang berkaitan dengan metode jaringan saraf tiruan dan metode deret berkala Box Jenkins.

#### C. Jenis dan Sumber Data

Data yang digunakan adalah data sekunder. Data sekunder merupakan sumber data penelitian yang diperoleh oleh peneliti tidak

langsung, melainkan melalui media perantara. Data sekunder umumnya berupa bukti, catatan atau laporan historis yang telah tersusun dalam arsip yang di publikasikan dan tidak dipublikasikan. Data yang digunakan dalam penelitian ini adalah data curah hujan tahun 2014 yang diambil dari Badan Meteorologi dan Geofisika (BMKG) Kota Makassar.

#### **D. Instrumen Penelitian**

Instrumen yang digunakan dalam penelitian ini ini adalah data dokumentasi yang berupa dokumen yang berkaitan dengan seluruh data yang diperlukan dalam penelitian.

#### **E. Variable dan Definisi Operasional Variabel**

Variabel respon yang digunakan dalam penelitian ini adalah variabel tingkat curah hujan ( $X$ ) sebagai nilai inputan, Unit Output merupakan solusi dari unit Input ( $Y$ ) dan Unit tersembunyi (Hidden Layer ) adalah merupakan lapisan yang tidak terkoneksi secara langsung dengan lapisan input atau output, memperluas kemampuan jaringan saraf tiruan ( $Z$ ).

#### **F. Teknik Pengumpulan Data**

Observasi adalah proses pencatatan pola perilaku subyek, obyek atau kejadian yang sistematis tanpa adanya pertanyaan atau komunikasi dengan individu-individu yang di teliti. Data yang



digunakan dalam penelitian ini adalah data yang berasal dari Badan Meteorologi dan Geofisika (BMKG) kota makassar.

## **G. Teknik Analisis Data**

1. Langkah-langkah membentuk model peramalan curah hujan dengan menggunakan metode ARIMA.

- a. Identifikasi Model

Dalam tahap ini akan dicari model yang dianggap paling sesuai dengan data curah hujan, diawali dengan membentuk plot data curah hujan yang asli, membuat trend analisisnya dan grafik fungsi autokorelasi (FAK) serta fungsi autokorelasi parsial (FAKP). FAK dan FAKP digunakan untuk menentukan kestasioneran dan pola lain yang terkandung pada deret berkala.

- b. Penaksiran Parameter

Tahap selanjutnya setelah model awal teridentifikasi adalah mencari taksiran terbaik atau yang paling efisien untuk parameter dalam model awal.

- c. Pemeriksaan Diagnostik

Dalam tahap ini akan diperiksa apakah model yang diestimasi cukup sesuai dengan data yang dimiliki. Apabila terdapat penyimpangan yang cukup serius harus dirumuskan kembali model yang baru yang selanjutnya di taksir nilai parameternya dan di periksa.

d. Tahap peramalan

Dalam tahap ini menggunakan software minitab dengan menggunakan model ARIMA yang sesuai untuk melakukan peramalan.

2. Perancangan model peramalan curah hujan menggunakan jaringan saraf tiruan backpropagation terdiri dari langkah-langkah sebagai berikut :

a. Menentukan tujuan sistem

Model jaringan yang dibangun digunakan untuk meramalkan curah hujan di kota makassar yakni data curah hujan dari bulan januari 2011 sampai desember 2015.

Dari model jaringan tersebut kita bisa menentukan tujuan sistemnya, dimana tujuan system merupakan tujuan awal untuk meramalkan curah hujan dengan menggunakan jaringan saraf tiruan. Adapun langkah-langkahnya sebagai berikut :

1. Membuat struktur jaringan yang terdiri simpul  $X$ , sebagai inputan layer, simpul  $Y$  sebagai simpul masukan dan simpul  $Z$  sebagai simpul Output layer.
2. Menentukan simpul masukan dan simpul keluaran
3. Setelah simpul masukan dan simpul keluaran sudah diketahui, selanjutnya kita sudah bisa menentukan tujuan sistemnya.

b. Menentukan fungsi aktivasi

Fungsi sigmoid biner (log sigmoid) digunakan sebagai fungsi aktivasi pada simpul tersembunyi dan keluaran.

c. Transformasi linear data curah hujan

Data ditransformasi linear pada selang  $[0.1,0.9]$ . Oleh karena itu keluaran yang dihasilkan jaringan akan berada pada nilai 0 sampai 1.

Untuk mendapatkan nilai sebenarnya dari keluaran perlu dilakukan proses ditransformasi linear.

3. Membandingkan tingkat keakuratan *forecast* atau ramalan yang dihasilkan oleh metode jaringan syaraf tiruan *backpropagation* dan metode deret berkala Box-Jenkins (ARIMA) dalam meramalkan curah hujan yang di tinjau dari hasil Mean Squared Error (MSE) dari masing-masing metode.

## BAB IV HASIL DAN PEMBAHASAN

### A. Hasil Penelitian

Data yang digunakan pada penelitian ini adalah data curah hujan di Badan Meteorologi, Klimatologi dan Geofisika Wilayah IV Makassar (tahun 2011 sampai dengan 2015) dengan jumlah data sebanyak 55 yang merupakan data curah hujan bulanan dalam periode 5 tahun terakhir.

Sebelum melakukan analisis data dan pembahasan lebih lanjut terhadap data penelitian, terlebih dahulu berikut diberikan penjelasannya.

#### a. Profil Data

Data yang diambil dari Badan Meteorologi, Klimatologi dan Geofisika wilayah IV Makassar merupakan data curah hujan adalah :

**Tabel 4.1** Data Curah Hujan Tahun 2011 Sampai dengan 2015

Bulan	Data Curah Hujan				
	2011	2012	2013	2014	2015
Januari	736 mm	617 mm	1065 mm	934 mm	862 mm
Februari	652 mm	509 mm	566 mm	340 mm	608 mm
Maret	621 mm	450 mm	308 mm	336 mm	422 mm
April	409 mm	277 mm	332 mm	208 mm	246 mm
Mei	131 mm	147 mm	134 mm	158 mm	71 mm
Juni	7 mm	41 mm	270 mm	93 mm	65 mm
Juli	4 mm	44 mm	163 mm	16 mm	-
Agustus	2 mm	0	2 mm	7 mm	-
September	-	15 mm	0	0	-
Oktober	109 mm	30 mm	39 mm	0	-
November	194 mm	81 mm	261 mm	88 mm	102 mm
Desember	717 mm	458 mm	774 mm	597 mm	622 mm

*Sumber data : BMKG Kota Makassar*

Pada algoritma jaringan syaraf tiruan propagasi balik ini digunakan fungsi aktivasi sigmoid biner di mana fungsi ini bernilai antara 0 s.d 1. Namun fungsi sigmoid biner tersebut sejatinya tidak pernah mencapai angka 0 maupun 1. Oleh sebab itu, data curah hujan perlu dinormalisasi terlebih dahulu ke dalam range 0,1 s.d 0,9 menggunakan persamaan berikut ini:

$$X' = \frac{0.8(X - b)}{(a - b)} + 0.1 \quad (4.1)$$

$X'$  = Data hasil normalisasi

$X$  = Data Asli atau data awal

$a$  = Nilai maksimum data asli

$b$  = Nilai minimum data asli

$$X' = \frac{0.8(X - b)}{(a - b)} + 0.1$$

$$X' = \frac{0.8(736 - 0)}{(1065 - 0)} + 0.1$$

$$X' = 0.6529$$

$$X' = \frac{0.8(622 - 0)}{(1065 - 0)} + 0.1$$

$$X' = 0.5672$$

**Tabel 4.2** Data Curah Hujan Hasil Normalisasi

Bulan	Data Curah Hujan Hasil Normalisasi				
	2011	2012	2013	2014	2015
Januari	0.6529 mm	0.5635 mm	0.9000 mm	0.8016 mm	0.7475 mm

<b>Bulan</b>	<b>Data Curah Hujan Hasil Normalisasi</b>				
Februari	0.5898 mm	0.4823 mm	0.5252 mm	0.3554 mm	0.5567 mm
Maret	0.5665 mm	0.4380 mm	0.3314 mm	0.3524 mm	0.4170 mm
April	0.4072 mm	0.3081 mm	0.3494 mm	0.2562 mm	0.2848 mm
Mei	0.1984 mm	0.2104 mm	0.2007 mm	0.2187 mm	0.1533 mm
Juni	0.1053 mm	0.1308 mm	0.3028 mm	0.1699 mm	0.1488 mm
Juli	0.1030 mm	0.1331 mm	0.2224 mm	0.1120 mm	-
Agustus	0.1015 mm	0.1000 mm	0.1015 mm	0.1053 mm	-
September	-	0.1113 mm	0.1000 mm	0.1000 mm	-
Oktober	0.1819 mm	0.1225 mm	0.1293 mm	0.1000 mm	-
November	0.2457 mm	0.1608 mm	0.2961 mm	0.1661 mm	0.1766 mm
Desember	0.6386 mm	0.4440 mm	0.6814 mm	0.5485 mm	0.5672 mm
<b>Rata-Rata</b>	<b>0.3446 mm</b>	<b>0.2671 mm</b>	<b>4.1402 mm</b>	<b>0.2738 mm</b>	<b>0.3185 mm</b>

Berdasarkan Tabel 4.1 dan Tabel 4.2 di atas intensitas curah hujan yang paling tinggi dilihat dari rata-ratanya terjadi pada tahun 2013 yakni mencapai 4.1402 mm sedangkan intensitas hujan yang paling rendah terjadi pada tahun 2012 berdasarkan rata-ratanya mencapai 0.2671 mm.

## **b. Peramalan menggunakan metode Deret Berkala Box Jenkins (ARIMA)**

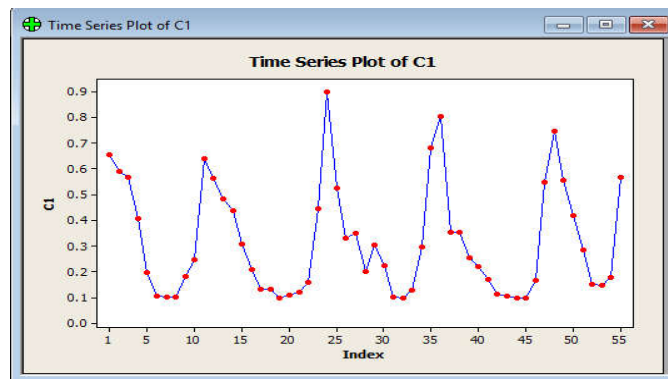
### **1. Identifikasi Model**

- a. Membuat plot data terhadap waktu sebagai alat bantu menetapkan model data.

Plot data menggunakan minitab, yaitu dengan cara data curah hujan hasil normalisasi dari tahun 2011 sampai 2015 dimasukkan kedalam minitab pada satu kolom yaitu kolom C1. Cara Membuat

plot yaitu : Klik menu Stat > Time Series > Time Series Plot > C1.

Kemudian hasilnya di dapatkan yaitu sebagai berikut.



**Gambar 4.1** Plot Data Curah Hujan

Berdasarkan plot data diatas dapat dilihat bahwa data tersebut tidak stasioner. Oleh karena itu perlu dilakukan pemeriksaan kestasioneran data dalam nilai tengah.

b. Melakukan Pemeriksaan Kestasioneran data dalam nilai tengah

Untuk menentukan nilai rata-rata data curah hujan tersebut digunakan persamaan :

$$\bar{Y} = \frac{\sum_{t=1}^N Y_t}{N} \quad (4.2)$$

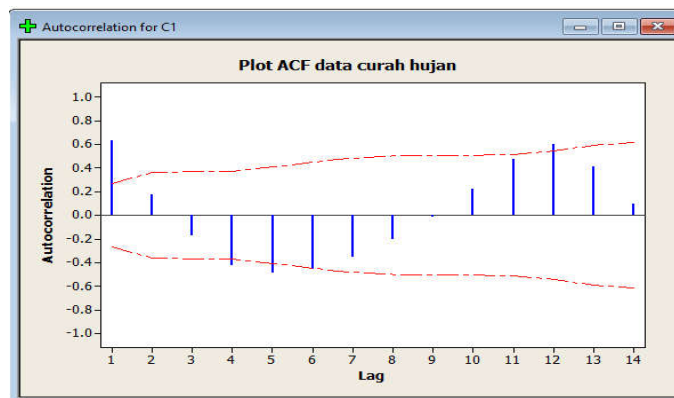
$$\bar{Y} = \frac{0.6529 + 0.5898 + 0.5665 + \dots + Y_n}{55}$$

$$\bar{Y} = \frac{17.4738}{55}$$

$$\bar{Y} = 0.3177$$

Data tidak berfluktuasi disekitar 0.3177 berdasarkan nilai rata-rata yang di dapatkan, hal ini menunjukkan bahwa data nonstasioner terhadap

nilai tengah, karena terjadi perbedaan yang sangat signifikan antara data dan nilai tengah. Setelah itu pemeriksaan kestasioneran dan non stasioner dapat dilakukan dengan menganalisa plot ACF dan PACF dari data. Jumlah maksimum data nilai taksiran ACF dan PACF sebanyak  $\frac{55}{4} = 14$  (lag). Dengan menggunakan minitab dapat diperoleh nilai taksiran ACF sampai Lag 15 dengan memplot data yaitu :



**Gambar 4.2** Fungsi Autokorelasi data normal

Untuk menentukan nilai taksiran ACF (Fungsi Autocorelation) digunakan persamaan berikut :

$$r_k = \frac{\sum_{t=1}^{n-k} (Y_t - \bar{Y})(Y_{t+k} - \bar{Y})}{\sum_{t=1}^n (Y_t - \bar{Y})^2} \quad (4.3)$$

$$r_1 = \frac{(0.6529-0.1377)(0.5898-0.1377)(0.5898-0.1377)(0.5665-0.1377) + \dots + (0.1766-0.1377)(0.5672-0.1377)}{(0.6529-0.1377)^2 + (0.5898-0.1377)^2 + \dots + (0.5672-0.1377)^2}$$

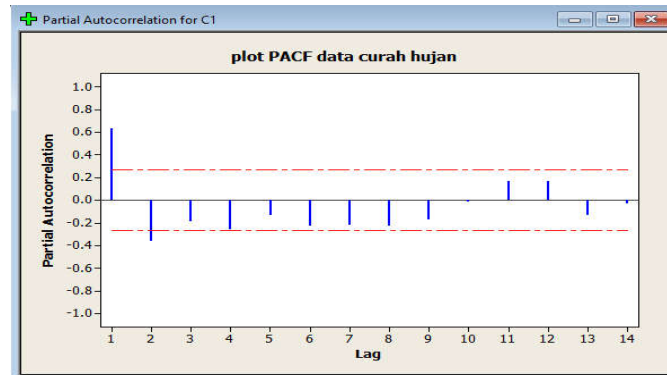
$$r_1 = 0.5979$$

$$r_2 = \frac{(0.6529-0.1377)(0.5665-0.1377)(0.5898-0.1377)(0.4072-0.1377) + \dots + (0.1488-0.1377)(0.5672-0.1377)}{(0.6529-0.1377)^2 + (0.5898-0.1377)^2 + \dots + (0.5672-0.1377)^2}$$

$$r_2 = 0.1761$$



Setelah nilai taksiran ACF di dapatkan, selanjutnya menentukan nilai taksiran PACF dengan menggunakan nilai taksiran dari ACF. Dengan minitab dapat diperoleh nilai taksiran PACF sampai lag-15, plot yang di dapat adalah:



**Gambar 4.3** Fungsi Parsial Autokorelasi data normal

Untuk menentukan nilai taksiran PACF tersebut adalah:

$$r_{11} = r_1 = 0.5979$$

$$r_{22} = \frac{r_2 - r_1^2}{1 - r_1^2} = \frac{0.1761 - (0.5979)^2}{1 - (0.5979)^2} = -0.282319$$

Pada gambar ACF terlihat bahwa garis nilai autokorelasi turun eksponensial setelah lag ke 1, sedangkan pada gambar PACF terlihat bahwa garis nilai autokorelasi parsial turun setelah lag 1 dan garis pada lag 1 tersebut sangat jauh dari garis batas signifikansi. Dari analisa dapat disimpulkan bahwa data bersifat non-stasioner.

c. Proses pembedaan pertama (differencing) terhadap data.

Dalam praktek banyak ditemukan bahwa data ekonomi bersifat non-stasioner sehingga perlu dilakukan modifikasi, dengan melakukan

pembedaan atau differencing, untuk menghasilkan data yang stasioner. Pembedaan dilakukan dengan mengurangi nilai pada suatu periode dengan nilai pada periode sebelumnya.

Untuk mengatasi data nonstasioner data maka dilakukan proses differencing pertama pada data yaitu:

$$Y'_t = Y_t - Y_{t-1} \quad (4.4)$$

Untuk  $t=2,3,4,\dots,55$  diperoleh hasil sebagai berikut:

$$Y'_2 = Y_2 - Y_{2-1}$$

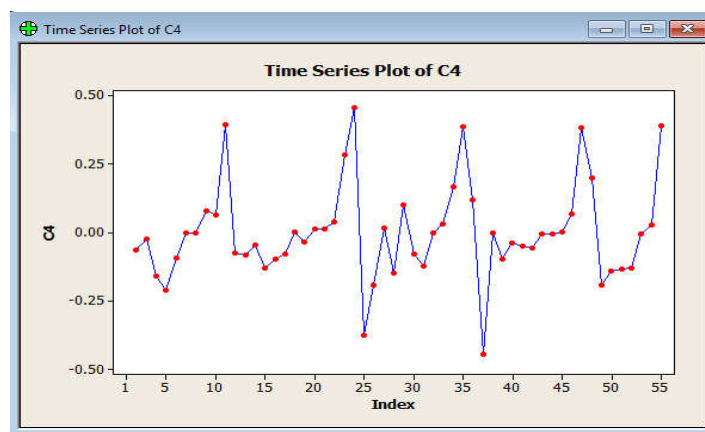
$$Y'_2 = Y_2 - Y_1 = 0.5898 - 0.6529 = -0.0631$$

$$Y'_3 = Y_3 - Y_{3-1}$$

$$Y'_3 = Y_3 - Y_2 = 0.5665 - 0.5898 = -0.0233$$

$$Y'_{55} = Y_{55} - Y_{54} = 0.5672 - 0.1766 = -0.5672$$

Setelah dilakukan proses differencing pertama, maka dapat dibuat plot dari data hasil proses differencing pertama dengan hasil sebagai berikut:



**Gambar 4.4** Plot Data Curah Hujan Hasil Differencing Pertama

Dari data diatas dapat dihitung nilai rata-ratanya, yaitu:

$$\bar{Y}'_t = \frac{\sum_{t=2}^N Y'_t}{N-1} = \frac{-0.6529}{54} = -0.01209$$

Dari hasil pengolahan proses differencing pertama terhadap data menunjukkan kestasioneran pada nilai tengah. Pada plot data proses differencing pertama terlihat fluktuasi data berada di sekitar -0.01209 serta hilangnya plot trend meningkat yang terdapat pada data.

- d. Menentukan model sementara dengan membuat dan menganalisa plot ACF dan PACF dari data yang telah stasioner.

Karena kestasioneran dalam nilai tengah telah terpenuhi pada tahap sebelumnya, maka langkah selanjutnya adalah menentukan nilai taksiran ACF dan PACF. Jumlah maksimum taksiran ACF dan PACF adalah:

$$59/4 = 13,5 = 14$$

Untuk menentukan nilai taksiran ACF data differencing pertama digunakan persamaan sebagai berikut :

$$r_k = \frac{\sum_{t=1}^{n-k} (Y_t - \bar{Y})(Y_{t+k} - \bar{Y})}{\sum_{t=1}^n (Y_t - \bar{Y})^2} \quad (4.5)$$

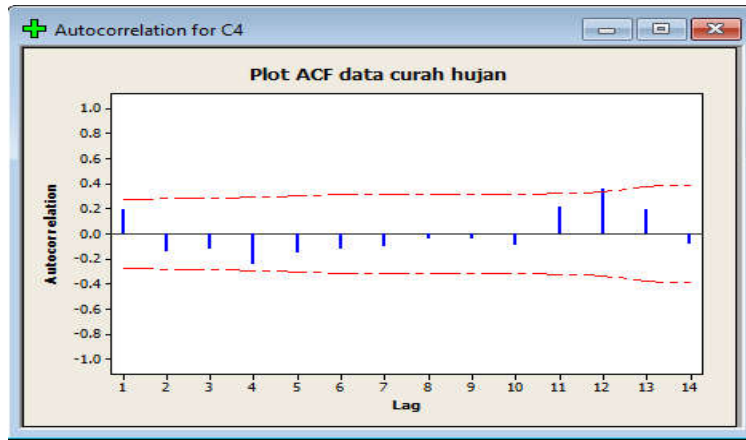
$$r_1 = \frac{(-0.0631+0.0015)(-0.0233+0.0015)(-0.0233+0.0015)(-0.1593+0.0015)+ \dots+(0.0278+0.0015)(0.3906+0.0015)}{(-0.0631+0.0015)^2+ (-0.0233+0.0015)^2+ \dots+(0.3906+0.0015)^2}$$

$$r_1 = 0.1965$$

$$r_2 = \frac{(-0.0631+0.0015)(-0.1593+0.0015)(-0.0233+0.0015)(-0.2088+0.0015)+ \dots+(-0.0045+0.0015)(0.3906+0.0015)}{(-0.0631+0.0015)^2+ (-0.0233+0.0015)^2+ \dots+(0.3906+0.0015)^2}$$

$$r_2 = -0.1436$$

Dengan menggunakan minitab dapat diperoleh nilai taksiran ACF sampai lag-14 . dan diperoleh plot:



**Gambar 4.5** Fungsi Autokorelasi Data Differensing Pertama

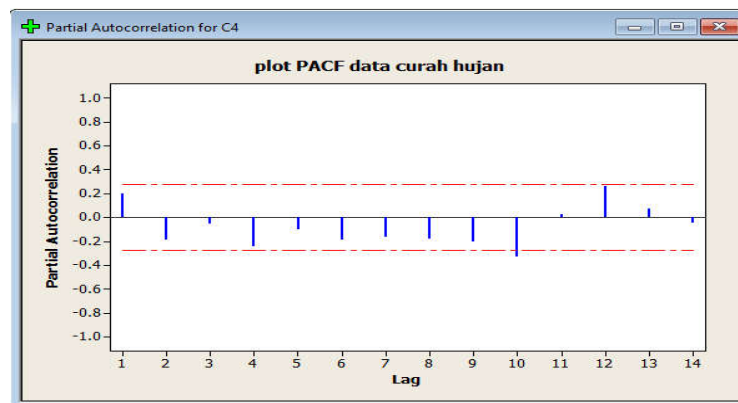
Berdasarkan gambar dapat terlihat bahwa garis autokorelasi turun eksponensial dengan fluktuasi positif dan negatif. Dari gambar terlihat bahwa semua garis nilai autokorelasi sudah berada di dalam garis batas signifikansinya.

Nilai taksiran PACF data differencing pertama adalah

$$r_1 = r_1 = 0.196519$$

$$r_2 = \frac{r_2 - r_1^2}{1 - r_1^2} = \frac{0.143668 - (0.196519)^2}{1 - (0.196519)^2} = -0.189610$$

Sehingga dengan menggunakan minitab dapat diperoleh nilai taksiran PACF data differencing pertama sampai lag 14, dan plot data hasil proses differencingnya dapat dilihat sebagai berikut.



**Gambar 4.6** Fungsi Parsial Autokorelasi Data Differencing Pertama

Berdasarkan gambar terlihat bahwa garis nilai autokorelasi turun eksponensial dengan fluktuasi positif dan negatif. Dan terlihat juga bahwa garis nilai autokorelasi sudah berada didalam garis batas signifikansinya. Berdasarkan hasil analisa plot ACF dan PACF dari data hasil proses differencing pertama disimpulkan bahwa data sudah bersifat stasioner dan dapat di tentukan model sementara yaitu ARIMA (1,1,1).

AR(1), karena pada grafik ACF menurun secara eksponensial atau berganti tanda (positif dan negatif) untuk beberapa lag dan ada satu PACF yang berbeda nyata dari nol. dan MA(1), karena ada satu ACF yang berbeda nyata dari nol dan pada grafik PACF menurun secara eksponensial atau berganti tanda (positif dan negative) untuk beberapa lag.

e. Melakukan overfitting terhadap model sementara.

Berdasarkan plot ACF dan PACF data hasil proses differencing pertama diperoleh model sementara yaitu ARIMA (1,1,1). Untuk mendapatkan model yang dianggap paling sesuai dilakukan overfitting

terhadap model sementara dengan cara mengubah orde AR dan MA pada model ARIMA(1,1,1) sehingga menjadi model ARIMA (1,1,0) atau model AR dan Model ARIMA (0,1,1) atau model MA, untuk mengetahui model yang paling cocok digunakan dalam peramalan curah hujan.

## 2. Penaksiran dan Pengujian Parameter

Setelah diperoleh model-model pada tahap identifikasi, maka selanjutnya dilakukan penaksiran parameter untuk model ARIMA(1,1,1), ARIMA(1,1,0) dan ARIMA(0,1,1). Dengan menggunakan minitab dapat diperoleh nilai taksiran parameter masing-masing modelnya.

### ARIMA(1,1,1)

Final Estimates of Parameters

Type		Coef	SE Coef	T	P
AR	1	-0.6915	0.1466	-4.72	0.000
MA	1	-0.9427	0.0771	-12.23	0.000
Constant		-0.00215	0.04453	-0.05	0.962

### ARIMA(1,1,0)

Final Estimates of Parameters

Type		Coef	SE Coef	T	P
AR	1	0.2170	0.1426	1.52	0.134
Constant		0.00007	0.02381	0.00	0.998

### ARIMA(0,1,1)

Final Estimates of Parameters

Type		Coef	SE Coef	T	P
MA	1	-0.3293	0.1377	-2.39	0.020
Constant		0.00035	0.03123	0.01	0.991

Untuk mengetahui apakah parameter model ARIMA yang ditaksir signifikan atau tidak perlu dilakukan pengujian. Hipotesis yang akan diuji adalah sebagai berikut :

$H_0: \phi = 0$  (Parameter model tidak signifikan)

$H_1: \phi \neq 0$  (Parameter model signifikan)

Statistik Uji

$$t = \frac{\hat{\phi}}{SE(\hat{\phi})}$$

tolak  $H_0$  jika  $|t_{hitung}| > t_{\alpha/2,df}$  dimana  $df$  adalah jumlah data dikurangi parameter.

$H_0$  ditolak jika nilai  $|t| > t_{0.005;53}$  dengan nilai  $t_{0.005;53}$  yaitu sebesar 2.929

**Tabel 4.3** Pengujian Taksiran Parameter

Model	Parameter	Koefisien	SE koefisien	t-hitung	Keterangan
ARIMA (1,1,1)	AR 1	-0.6915	0.1466	-4.716	Signifikan

### 3. Tahap diagnostik

Selanjutnya dilakukan uji kesesuaian model dengan menggunakan kriteria MSE. Model yang mempunyai nilai MSE minimum merupakan model yang terbaik.

**ARIMA(1,1,1)**

Differencing: 1 regular difference  
 Number of observations: Original series 55, after differencing 54  
 Residuals: SS = 1.48856 (backforecasts excluded)  
 MS = 0.02919 DF = 51

**ARIMA(1,1,0)**

Differencing: 1 regular difference  
 Number of observations: Original series 55, after differencing 54  
 Residuals: SS = 1.58747 (backforecasts excluded)  
 MS = 0.03053 DF = 52

**ARIMA(0,1,1)**

Differencing: 1 regular difference  
 Number of observations: Original series 55, after differencing 54  
 Residuals: SS = 1.55034 (backforecasts excluded)  
 MS = 0.02981 DF = 52

**4. Tahap peramalan**

Pada tahap ini menggunakan model ARIMA yang terbaik untuk peramalan. Berdasarkan uraian dan setelah melalui tahap identifikasi, tahap penaksiran dan pengujian serta tahap diagnostik maka diperoleh model peramalan dengan MSE minimum yaitu model ARIMA (1,1,1) dengan persamaan berikut:

$$(1 - B)(1 - \theta_1 B)Y_t = \mu' + (1 - \theta_1 B)e_t \quad (4.6)$$

$$(1 - \theta_1 B + \theta_1 B^2)Y_t = \mu' + e_t - \theta_1 B e_t$$

$$Y_t - Y_t \theta_1 B - Y_t \theta_1 B^2 + Y_t = \mu' + e_t - \theta_1 B e_t$$

$$Y_t = \mu' + (1 - \theta_1)Y_{t-1} - \theta_1 Y_{t-2} - e_t + \theta_1 e_{t-1} + e_t \quad (4.7)$$

$$Y_t = 0.00215 + 0.3085 Y_{t-1} + 0.6915 Y_{t-2} + 0.9427 e_{t-1} + e_t$$

Sehingga dengan menggunakan minitab dapat diperoleh hasil ramalan intensitas curah hujan Baru 12 bulan mendatang, seperti berikut:



Forecasts from period 55

Period	Forecast	95% Limits		Actual
		Lower	Upper	
56	711.04	265.21	1156.87	
57	646.58	-67.50	1360.66	
58	688.30	-172.31	1548.91	
59	656.58	-356.21	1669.36	
60	675.66	-452.44	1803.75	
61	659.59	-583.64	1902.82	
62	667.84	-673.95	2009.63	
63	659.27	-778.69	2097.23	
64	662.33	-862.91	2187.57	
65	657.35	-952.31	2267.00	
66	657.93	-1030.70	2346.55	
67	654.66	-1110.22	2419.54	

### c. Peramalan menggunakan metode Jaringan Saraf Tiruan (*BackPropagation*)

#### 1. Menentukan tujuan sistem

Penelitian ini menggunakan metode penentuan bobot pada *training* jaringan syaraf tiruan dengan struktur JST menggunakan MLP (*Multi Layer Perceptron*) dengan struktur input ARX (*Auto Regressive External Input*), dimana variabel input Jaringan Saraf Tiruan mengandung input (X) dan output (Z).

#### a. Data Input

**Tabel 4.4** Data Input Hasil Normalisasi

Bulan	Data Curah Hujan Hasil Normalisasi				
	2011	2012	2013	2014	2015
Januari	0.6529 mm	0.5635 mm	0.9000 mm	0.8016 mm	0.7475 mm
Februari	0.5898 mm	0.4823 mm	0.5252 mm	0.3554 mm	0.5567 mm
Maret	0.5665 mm	0.4380 mm	0.3314 mm	0.3524 mm	0.4170 mm
April	0.4072 mm	0.3081 mm	0.3494 mm	0.2562 mm	0.2848 mm
Mei	0.1984 mm	0.2104 mm	0.2007 mm	0.2187 mm	0.1533 mm
Juni	0.1053 mm	0.1308 mm	0.3028 mm	0.1699 mm	0.1488 mm
Juli	0.1030 mm	0.1331 mm	0.2224 mm	0.1120 mm	-

<b>Bulan</b>	<b>Data Curah Hujan Hasil Normalisasi</b>				
Agustus	0.1015 mm	0.1000 mm	0.1015 mm	0.1053 mm	-
September	-	0.1113 mm	0.1000 mm	0.1000 mm	-
Oktober	0.1819 mm	0.1225 mm	0.1293 mm	0.1000 mm	-
November	0.2457 mm	0.1608 mm	0.2961 mm	0.1661 mm	0.1766 mm
Desember	0.6386 mm	0.4440 mm	0.6814 mm	0.5485 mm	0.5672 mm

Menentukan data target digunakan proses random yakni dari data

input hasil normalisasi, sebagai berikut.

<b>NO</b>	<b>Data Masukan</b>	<b>Target</b>
1	Data pada bulan ke-1 s.d bulan ke-5	Data pada bulan ke-6
2	Data pada bulan ke-2 s.d bulan ke-6	Data pada bulan ke-7
3	Data pada bulan ke-3 s.d bulan ke-7	Data pada bulan ke-8
.	.	.
.	.	.
55	Data pada bulan ke-50 s.d bulan ke-55	Data pada bulan ke-5

#### **b. Data Target**

**Tabel 4.5** Data Target

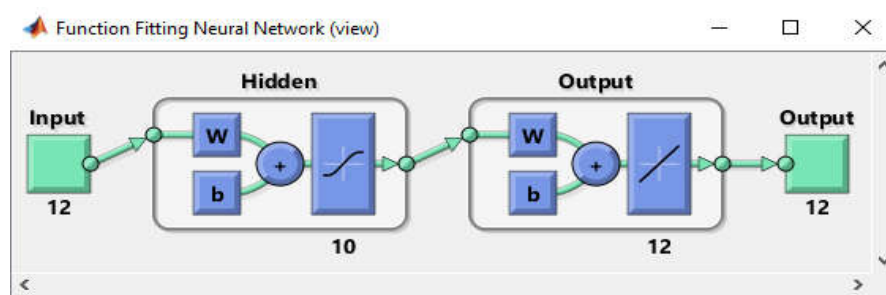
<b>Data Target</b>				
<b>2011</b>	<b>2012</b>	<b>2013</b>	<b>2014</b>	<b>2015</b>
0.5898 mm	0.3494 mm	0.1488 mm	0.1113 mm	0.1661 mm
0.4823 mm	0.2562 mm	0.1030 mm	0.1000 mm	0.1766 mm
0.5252 mm	0.2848 mm	0.1331 mm	0.1000 mm	0.6386 mm
0.3554 mm	0.1984 mm	0.2224 mm	-	0.4440 mm
0.5567 mm	0.2104 mm	0.1120 mm	0.1819 mm	0.6814 mm
0.5665 mm	0.2007 mm	-	0.1225 mm	0.5485 mm
0.4380 mm	0.2187 mm	0.1015 mm	0.1293 mm	0.5672 mm

0.3314 mm	0.1533 mm	0.1000 mm	0.1000 mm	0.6529 mm
0.3524 mm	0.1053 mm	0.1015 mm	-	0.5635 mm
0.4170 mm	0.1308 mm	0.1053 mm	0.2457 mm	0.9000 mm
0.4072 mm	0.3028 mm	-	0.1608 mm	0.8016 mm
0.3081 mm	0.1699 mm	-	0.2961 mm	0.7475 mm

*Sumber data : Hasil Olahan sendiri*

Kriteria pemodelan proses yang dihasilkan dinyatakan dalam MSE (*Mean Square Error*). Dengan ketentuan semakin kecil MSE yang dihasilkan (mendekati nilai 0) akan menghasilkan prediksi *output* yang lebih baik.

Model jaringan yang digunakan untuk meramalkan curah hujan menggunakan Jaringan Saraf Tiruan.

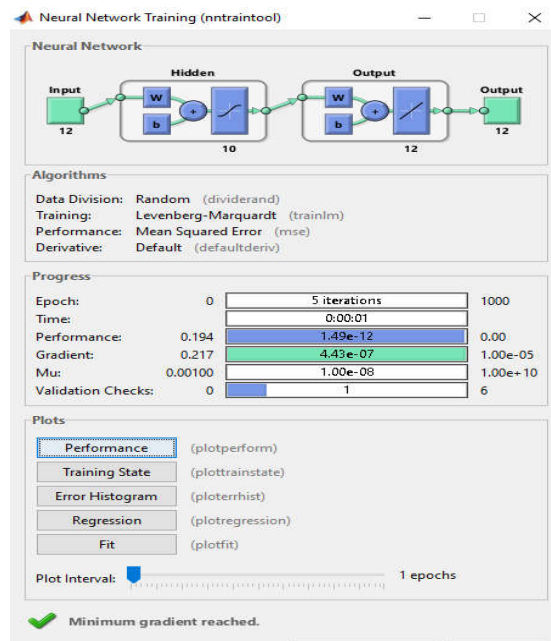


**Gambar 4.7** Model Jaringan Saraf Tiruan yang di dapatkan

Proses training pertama menggunakan pola struktur jaringan neuron sederhana dengan inputan awal  $X$  sebanyak 12 inputan awal dengan estimasi bobot  $W$  sebagai bobot awal dalam 12 data inputan, yang menghubungkan antara inputan dengan hidden layer  $Y$ . Setelah proses inputan awal selesai dilanjutkan dengan input kedua sampai kelima, selanjutnya diproses kembali untuk menghubungkan antara hidden layer  $Y$  dengan keluaran output  $Z$  dengan banyaknya data dari inputan awal, menggunakan estimasi bobot  $W$  untuk menghasilkan output  $Z$ .

Setelah mendapatkan model jaringan selanjutnya dilakukan training atau pembelajaran terhadap model yang didapatkan dengan memasukkan data input dan target untuk selanjutnya di training. Dengan memasukkan data input sebanyak 12 bulan dalam rentang waktu tahun 2011 sampai 2015 dan 10 hidden layer.

### c. Proses Training

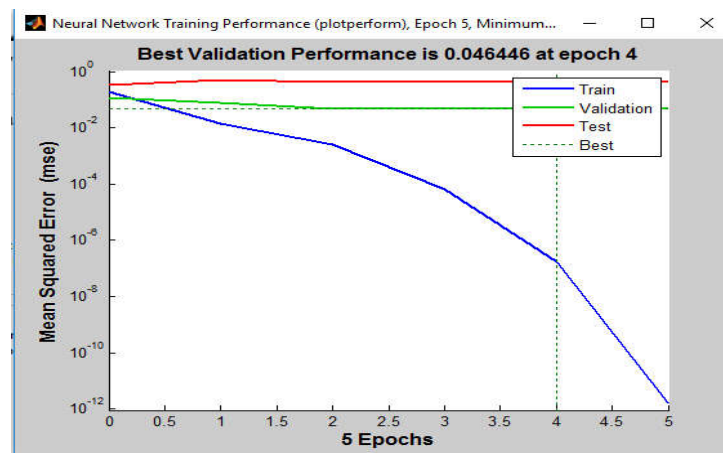


**Gambar 4.8** Proses training dengan menggunakan model jaringan.

Pada Gambar 4.8 dapat dilihat bahwa *goal*  $1e-10$  ditemukan hanya dalam 5 kali *iterasi*. Pada percobaan ini, jenis pelatihan yang digunakan adalah Levenberg-Marquardt Performance, yang menyatakan metode untuk menghentikan proses jika sudah mendekati real misalnya *Mean Squared Error* (MSE). *Epoch*, menyatakan jumlah perulangan pembelajaran. Pada sistem ini epoch 5 *iterasi*, berarti proses pembelajaran berhenti setelah

perulangan sebanyak 5 kali. Time menyatakan waktu yang ditempuh oleh Matlab dalam melakukan pembelajaran. *Performance*, menyatakan kualitas hasil pembelajaran, makin mendekati nol, kualitasnya makin baik. *Gradient*, merupakan kemiringan antara satu *iterasi* dengan *iterasi* berikutnya. Proses pembelajaran akan berhenti biasanya jika kemiringan sudah tidak berubah. *Validation check* bermaksud untuk mengecek apakah proses pembelajaran mengarah ke arah yang tepat atau malah menyimpang. Dari proses training diatas terlihat beberapa tombol untuk melihat plot performance,

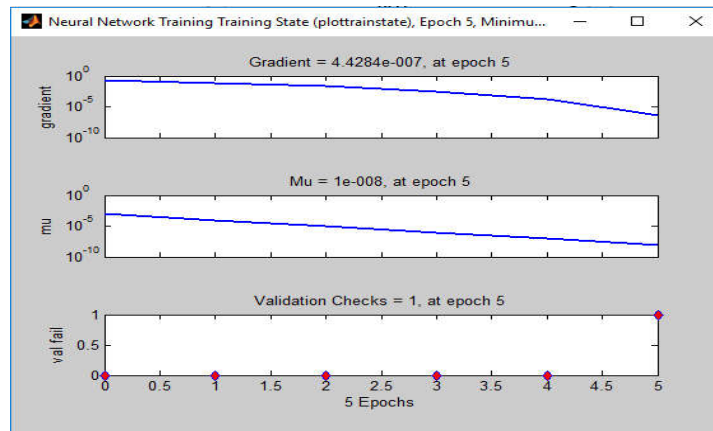
a. Tampilan Plot Performance



**Gambar 4.9** tampilan plot performance.

Pada Gambar 4.9 merupakan grafik hubungan antara epoch dengan MSE (*Mean Squarred Error*). Terlihat bahwa nilai MSE turun yang artinya *training* berhasil dengan ditemukannya *goal*.

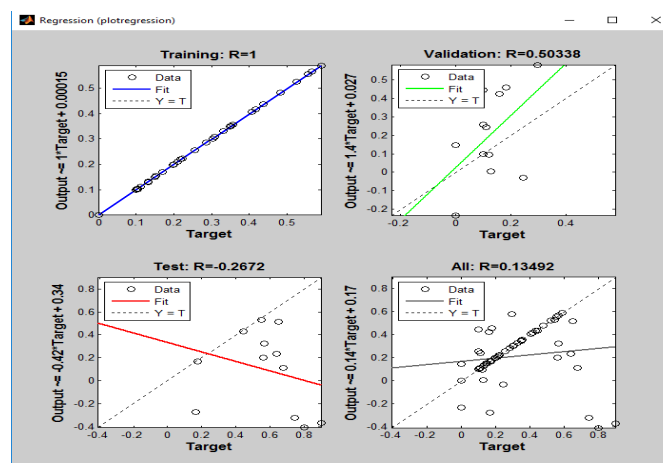
b. Tampilan *plot training state*



**Gambar 4.10** tampilan plot Training state

Pada Gambar 4.10 tampilan dari *training state*, terlihat ada grafik hubungan antara *epoch* dengan gradient, grafik hubungan antara *epoch* dengan *mu*, dan grafik hubungan antara *epoch* dengan *val fail*. Nilai gradien pada proses *training* ini sebesar  $4.4284 \times 10^{-7}$ , nilai *mu* sebesar  $1 \times 10^{-8}$ , dan *validation checks* sebesar 1.

c. Tampilan *plot regression*



**Gambar 4.11** tampilan plot Regression

Gambar 4.11 merupakan *plot regression* pada proses *preprocessing*, pada gambar target dengan *output* nilainya berkisar antara 0.1 – 0.9, hal ini terjadi karena *output* dengan target dilakukan proses normalisasi data sehingga data *output* dan target berada pada diantara *range* (0.1-0.9). Pada *plot regresi* ini mempunyai korelasi sebesar 0.05338 pada plot training, sedangkan pada analisis regresi linear mempunyai korelasi 0.13492. yang artinya menunjukkan korelasi yang baik antara data *output* dengan target karena nilai berada pada interval (0.1-0.9).

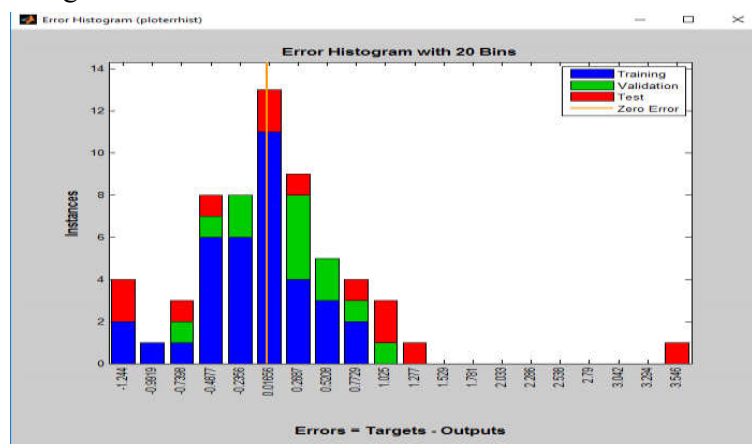
## 2. Proses Tranformasi Linear Data Curah Hujan

### a. Tabel 4.5 hasil Retrain 1-6

TABEL PROSES PEMBELAJARAN KEMBALI/RETRAIN							
	INISIASI	RETRAIN KE-1	RETRAIN KE-2	RETRAIN KE-3	RETRAIN KE-4	RETRAIN KE-5	RETRAIN KE-6
Training Sample	70%						
Test Sampel	15%						
Validation Sample	15%						
Hidden Layer	10	10	10	10	10	10	10
Epoch	5	4	4	4	4	5	4
Time	0.1	0.0	0.0	0.0	0.07	0.2	0.08
Performance	1.49E-12	1.22E-14	9.06E-10	1.09E-10	2.55E-16	1.49E-12	1.89E-16
Gradient	4.43E-07	4.73E-08	9.97E-12	4.37E-06	7.91E-09	4.43E-17	5.95E-07
Mu	1.00E-08	1.00E-07	1.00E-07	1.00E-07	1.00E-07	1.00E-09	1.00E-07
Validation Checks	1	1	2	3	2	1	1
Best Validation Peerformance	0.046446	0.71445	0.11773	0.10583	0.099773	0.04646	0.15841
At Epoch	4	3	2	1	2	4	3

Berdasarkan tabel diatas didapatkan hasil pembelajaran atau Training kembali, selama 6 kali proses Retrain, dimana pada proses inputan data awal atau inisiasi training sample yang digunakan adalah 70 % serta test sample dan validation sample masing-masing 15 % sampai dengan Retrain ke 6. Berdasarkan model jaringan yang di dapatkan yaitu menggunakan sebanyak 10 hidden layer dan iterasinya mulai dari 1 sampai 1000, waktu yang di butuhkan pada proses inisiasi selama 0.1 detik, Best Validation Performance yaitu 0.046446.

Proses Retrain pertama sampai Retrain Ke 6, dapat ditarik kesimpulan bahwa waktu yang paling banyak digunakan untuk proses Retrain itu terjadi pada proses retrain ke 5 yaitu dengan waktu 0.08 detik, sedangkan waktu yang paling sedikit digunakan yaitu terjadi pada Retrain 1,2 dan 3 yaitu sebanyak 0.0 detik. Hasil tersebut menunjukkan bahwa pada Retrain Ke 6 menghasilkan data yang maksimal, seperti yang terlihat pada plot Histogram berikut ini :



**Gambar 4.12** Plot Histogram Retrain Ke 6



Berdasarkan plot histogram diatas dapat di lihat bahwa proses traning paling banyak terjadi pada interval 0.01656 mencapai 10.5 instances dan testing yang terjadi dimulai dari 10.5 sampai dengan 12.5.

**b. Tabel 4.6 Mean Squared Error (MSE)**

Meean Squared Error (MSE)							
Training	1.78449	4.65360	1.83632	2.19563	6.08741	1.78449	5.87793
Validation	4.64455	7.14452	1.17732	1.05834	9.97730	4.64455	1.58410
Testing	4.25631	3.30878	1.31753	2.73461	3.27527	4.25631	1.78413

Berdasarkan table MSE pada proses Retrain diatas, nilai MSE terbesar terjadi pada proses Retrain ke 4 yaitu 6.08741 dan validation terbesarnya terjadi pada Retrain ke 4, Testing terbesar terjadi pada proses inisiasi atau pemberian nilai awal.

**c. Tabel 4.7 Hasil Transformasi**

REGRESION							
Training	9.99996	9.99999	9.85943	8.43201	9.96535	9.99996	9.99999
Validation	5.03380	-3.75059	-2.87043	-8.37816	-1.83221	5.03380	-1.05202
Testing	-2.67201	2.65281	1.84384	-3.08603	-6.54605	-2.67201	-2.17552
REGRESION ON GRAFH							
Training	1	1	0.98594	0.8432	0.99654	1	1
Validation	0.50338	-0.37506	-0.2870	-0.08378	-0.018322	0.50338	-0.1052
Testing	-0.2672	0.26528	0.18438	-0.03086	-0.65461	-0.2672	-0.02175
All	0.13492	0.01918	0.59845	0.57743	0.015676	0.13492	0.35207
TEST NETWORK							
MSE	4.75939	1.49508	5.09989	3.98100	8.54966	9.44154	6.73648
Regression	6.81036	4.07500	5.85154	4.82241	1.60532	3.93165	3.70332
Graph Plot Regression	0.65492	0.77196	0.59845	0.57743	0.015676	0.13492	0.35207

Berdasarkan kesimpulan keseluruhan hasil visualisasi data melalui grafik untuk training kembali (Retrain) dari training kembali pertama hingga training kembali ke-6 performance neuron network Back Propagation menampilkan hasil terbaik pada training ke-6 dengan nilai tertinggi untuk regresi pada masing masing tahap training, Test dan validasi, begitupula dengan Mean Squared Error (MSE) pada keseluruhan tahapan network. Dengan adanya peningkatan pada kriteria performance ini dapat disimpulkan pembelajaran kembali dapat digunakan hingga tahap tertentu dari suatu system neural network.

#### d. Output

Bedasarkan data input dan data target yang di Retrain selama 6 kali proses tranfosrmasi data linear, maka di dapatkan hasil ramalan dengan ouput sebagai berikut :

**Tabel 4.8** Output

<b>Data hasil ramalan jaringan saraf tiruan</b>				
0.5898	0.3490	0.1489	0.2433	-0.2744
0.4823	0.2565	0.1028	0.4463	0.1694
0.5252	0.2854	0.1330	0.2586	0.2327
0.3554	0.1984	0.2220	0.1472	0.4327
0.5567	0.2100	0.1117	0.4586	0.1136
0.5665	0.2014	0.0001	0.0941	0.5293
0.4380	0.2196	0.1018	0.0053	0.3255
0.3314	0.1539	0.1004	0.1001	0.5162
0.3524	0.1052	0.1016	-0.2338	0.1993
0.4170	0.1300	0.1052	-0.0307	-0.3695
0.4072	0.3022	0.0015	0.4230	-0.4076
0.3081	0.1699	-0.0004	0.5800	-0.3213

- e. Perbandingan jaringan saraf tiruan dengan metode deret berkala box Jenkins (ARIMA) yang di perlihatkan berdasarkan tabel MSE dari kedua metode tersebut.

**Tabel 4.9 Mean Squared Error (MSE) jaringan saraf tiruan**

Mean Squared Error (MSE)							
Training	1.78449	4.65360	1.83632	2.19563	6.08741	1.78449	5.87793
Validation	4.64455	7.14452	1.17732	1.05834	9.97730	4.64455	1.58410
Testing	4.25631	3.30878	1.31753	2.73461	3.27527	4.25631	1.78413

**Tabel 4.10 Uji Data Pelatihan Retrain 1 sampai 6**

Epoch	Validation Checks	BVP	Gradient	Mean Square Error (MSE)
4	1	0.71445	4.7349	4.65360
4	1	0.11773	9.9711	1.83632
4	2	0.10583	4.3675	2.19563
4	3	0.09977	7.9068	6.08741
<b>5</b>	<b>1</b>	<b>0.04646</b>	<b>4.4284</b>	<b>1.78449</b>
4	1	0.15841	5.9462	5.87793

Dari beberapa hasil training yang telah dilakukan dapat diambil kesimpulan bahwa proses data pelatihan yang paling optimal yakni dengan retrain ke 5 yang menghasilkan nilai Best Validation Performance (BVP) yang sudah memenuhi range [0.1,0.9] dengan nilai validation checks 1 yang menandakan bahwa proses training sudah maksimal dan tidak terjadi overtraining.

**Tabel 4.11 Mean Squared Error (MSE) ARIMA**

	ARIMA (1,1,1)	ARIMA (1,1,0)	ARIMA (0,1,1)
SS	1.48856	1.58747	1.55034
MSE	<b>0.02919</b>	0.3053	0.2981

## B. Pembahasan

Berdasarkan hasil penelitian dengan menggunakan metode ARIMA diawali dengan memplot data curah hujan untuk mengetahui kestasioneran data dengan melakukan pemeriksaan data dalam nilai tengah, hasil yang di dapatkan adalah  $\bar{Y}$  sebesar 0.3177. Dari nilai rata-rata yang dihasilkan menunjukkan data tidak berfluktuasi terhadap nilai tengah, menandakan nilai belum stasioner dalam nilai tengah. Selanjutnya menganalisa plot ACF dan PACF dengan nilai taksiran yang di dapatkan yaitu  $r_1$  sebesar 0.5979 dan  $r_2$  sebesar 0.1761, sedangkan nilai taksiran PACF yang dihasilkan yaitu  $r_{22}$  sebesar -0.2823.

Untuk mengatasi data nonstasioner dilakukan proses differensing pertama dengan hasil yang didapatkan  $Y_2'$  sebesar -0.0631 sampai  $Y_{55}'$  sebesar -0.5672. Selanjutnya melakukan pemeriksaan rata-rata dari data hasil differensing pertama untuk mengetahui apakah data sudah stasioner atau belum, hasil yang di dapatkan adalah  $\bar{Y}_t'$  sebesar -0.0120 dari hasil tersebut menandakan bahwa data sudah berfluktuasi terhadap nilai tengah dan hilangnya plot trend meningkat terhadap data. Nilai taksiran data hasil differensing pertama dari plot ACF dan PACF yaitu  $r_1$  sebesar 0.1965 dan  $r_2$  sebesar -0.1436 dan nilai taksiran PACF yaitu  $r_{22}$  sebesar -0.1896. Berdasarkan hasil tersebut model yang paling cocok untuk digunakan adalah model ARIMA (1,1,1) dengan nilai residual MSE yang paling kecil yaitu 0.02919.

Berdasarkan hasil yang didapatkan dengan menggunakan metode jaringan saraf tiruan dengan melakukan proses training sebanyak 6 kali dengan hasil transformasi liner yang dihasilkan yaitu nilai yang paling optimal terjadi pada proses training ke 5 dengan menghasilkan nilai Best Validation Performance (BVP) yang sudah memenuhi range  $[0.1,0.9]$  dengan nilai validation checks 1 yang menandakan bahwa proses training sudah maksimal dan tidak terjadi overtraining dan mendapatkan nilai Best Validation Performance yaitu 0.04646 dengan 5 kali iterasi dalam proses training.

Berdasarkan hasil pelatihan dengan menggunakan data pelatihan diperoleh MSE sebesar 1.78449. Ini menggambarkan bahwa jaringan mampu mempelajari nilai taburan data dengan baik berdasarkan 55 pola data yang digunakan. Untuk data pengujian diperoleh nilai MSE sebesar 9.44154. Ini menggambarkan bahwa jaringan kurang mampu mempelajari taburan data dengan baik berdasarkan 55 pola data yang digunakan. Nilai ini jauh lebih besar dari nilai MSE data pelatihan yang menandakan adanya masalah *overtraining* dalam data pengujian yang mempengaruhi keputusan data pengujian. Berdasarkan hasil peramalan curah hujan pada bulan Januari 2017 sampai Desember 2017 dengan menggunakan jaringan syaraf tiruan dan ARIMA diperoleh nilai MSE masing-masing, yaitu 1.78449 dan 0.02919. Nilai MSE hasil peramalan curah hujan dengan jaringan syaraf

tiruan relatif lebih besar daripada nilai MSE ARIMA. Nilai MSE jaringan syaraf tiruan yang lebih besar disebabkan oleh beberapa hal sebagai berikut.

1. Transformasi linear yang digunakan pada data asli kurang sesuai. Taburan data setelah transformasi masih bisa lebih stabil lagi jika digunakan transformasi data yang lain seperti transformasi polinomial ln atau normal.
2. Komposisi pembagian data yang kurang tepat yang menyebabkan masalah *overtraining*.

Tingkat keakuratan hasil ramalan dengan metode ARIMA masih lebih baik dibandingkan dengan jaringan syaraf tiruan yang terlihat dari nilai MSE ARIMA yang lebih kecil dari jaringan syaraf tiruan, ini di buktikan dari hasil penelitian sebelumnya oleh Dwi Prisita Anggriningrum dengan judul penelitian yaitu “Perbandingan prediksi harga saham dengan menggunakan jaringan saraf tiruan *Backpropegation* dan ARIMA” dengan hasil penelitian menunjukkan bahwa nilai MSE ARIMA 0,00115 yang dihasilkan lebih kecil dibandingkan dengan MSE jaringan saraf tiruan 0,00140.<sup>18</sup>

---

<sup>18</sup> Dwi Prisita Anggriningrum dkk. Unnes Journal Of Mathematics 2013 “Perbandingan Prediksi Harga Saham Dengan Menggunakan Jaringan Saraf Tiruan dan ARIMA”. Jurusan Matematika, FMIPA, UNS h.108

## **BAB V**

### **PENUTUP**

#### **A. Kesimpulan**

Dari hasil penelitian dan pembahasan maka penulis dapat menarik kesimpulan sebagai berikut.

1. Tingkat optimal parameter yang didapatkan dalam meramalkan curah hujan dengan menggunakan metode Box Jenkins (ARIMA) yaitu menggunakan model ARIMA (1,1,1) dengan nilai MSE yang di dapatkan sebesar 0.02919.
2. Tingkat Optimal parameter yang didapatkan dalam meramalkan curah hujan dengan menggunakan metode jaringan saraf tiruan yaitu dengan melakukan proses training sebanyak 6 kali transformasi linear untuk mendapatkan nilai yang paling optimal, yaitu nilai MSE sebesar 1.78449.
3. Dari hasil perhitungan nilai MSE hasil peramalan curah hujan dari bulan Januari 2017 sampai Desember 2017 diperoleh 1.78449 untuk jaringan syaraf tiruan dan 0.02919 untuk ARIMA. Nilai MSE jaringan syaraf tiruan relatif lebih besar dari pada ARIMA yang menunjukkan tingkat keakuratan hasil peramalan dengan metode ARIMA masih lebih baik dibandingkan dengan jaringan syaraf tiruan.

## **B. Saran**

Berdasarkan hasil penelitian maka saran yang dapat disampaikan adalah sebagai berikut.

1. Proses Retrain pada transformasi data yang lain perlu dicoba untuk mendapatkan taburan data yang lebih stabil.
2. Model ARIMA yang lain masih perlu diteliti untuk mendapatkan nilai *error* ramalan yang lebih kecil.